
Heavy Ion Collisions

--- Past, Present, and Future ---

Heavy-Ion Cafe @ U-Tokyo, 2007/09/15

Akira Ohnishi

*Department of Physics, Faculty of Science,
Hokkaido University*

Introduction

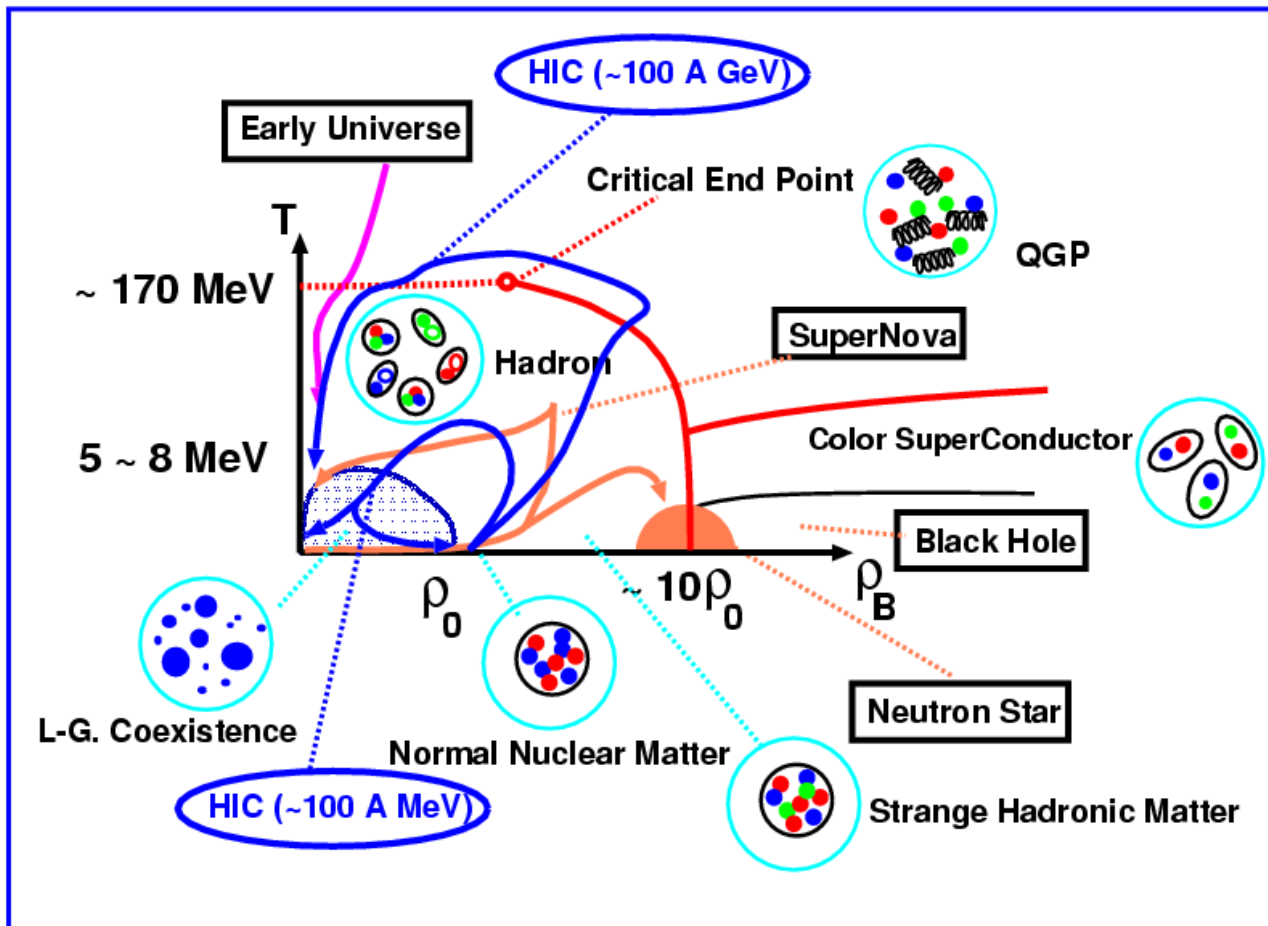
HIC at $E_{\text{inc}} \sim 100 \text{ MeV/A}$

HIC at $E_{\text{inc}} \sim (1-100) \text{ GeV/A}$

HIC at RHIC

Summary

Hadronic Matter Phase Diagram



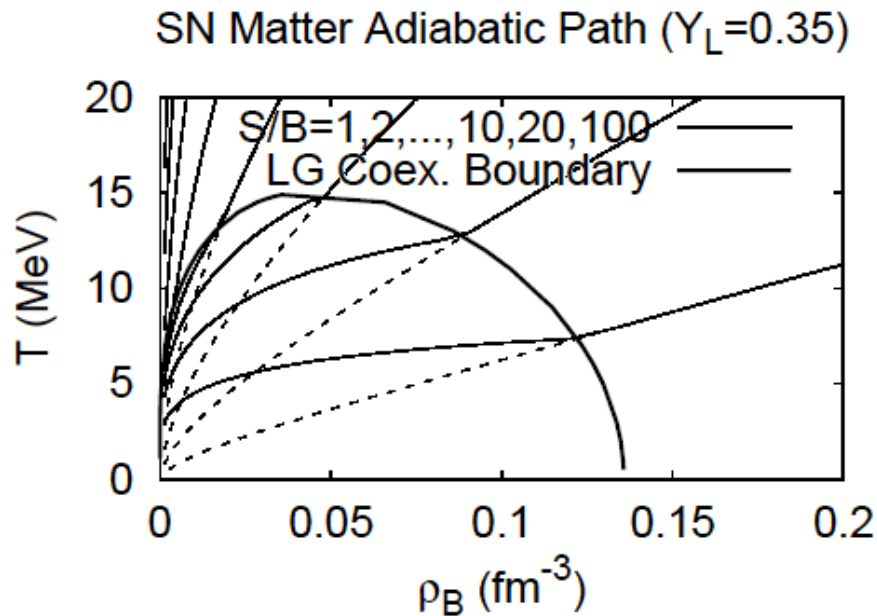
$HIC (\sim A \text{ few } 100 A \text{ MeV}) = \text{Little Supernova}$
 $HIC (100+100 A \text{ GeV}) = \text{Little Big Bang}$

QCD 相転移=我々の宇宙の最後の真空相転移(菅沼談)

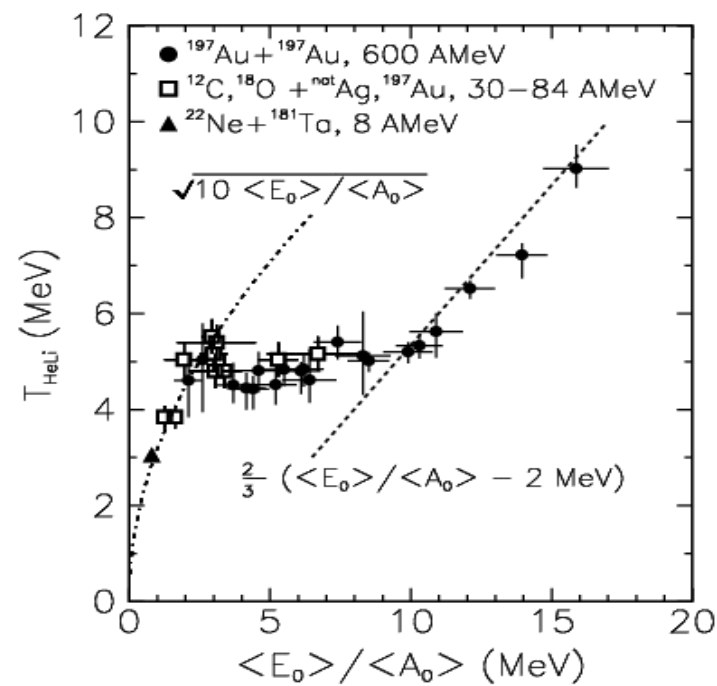
HIC at $E_{inc} \sim$ a few 100 MeV/A

Physics of Fragmentation and Liquid-Gas Phase transition

低温では $\rho_B \sim (0.3\text{-}0.6) \rho_0$ において、 $dP/d\rho_B < 0$ (spinodal region)
→ 一様な核物質は不安定となり、液相と気相が共存する。



→ 重イオン反応という
非平衡・非一様な状況で
「相」の情報はみえるのか？

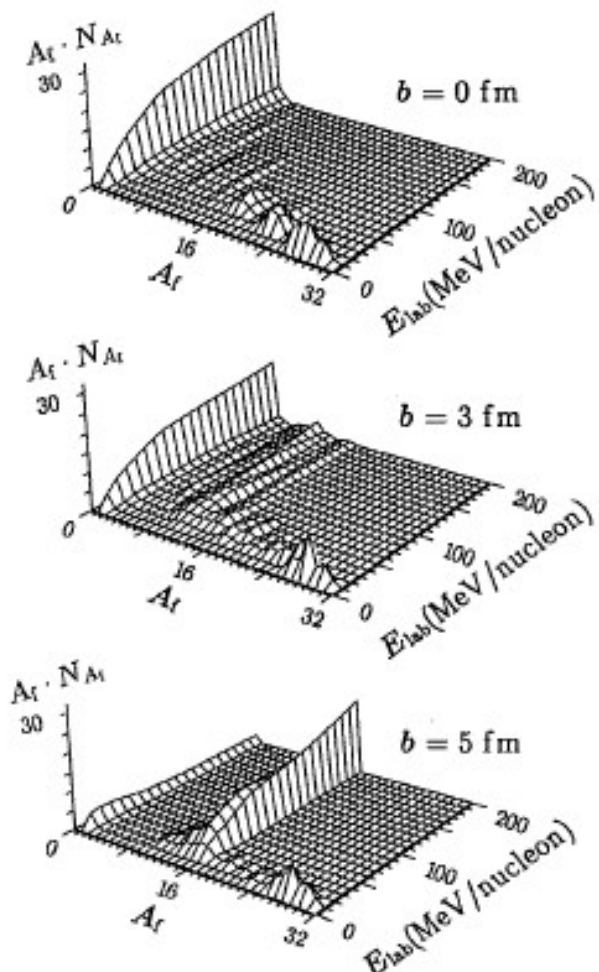


*J. Pochadzalla et al (GSI-ALLADIN collab.),
PRL 75 (1995) 1040.*

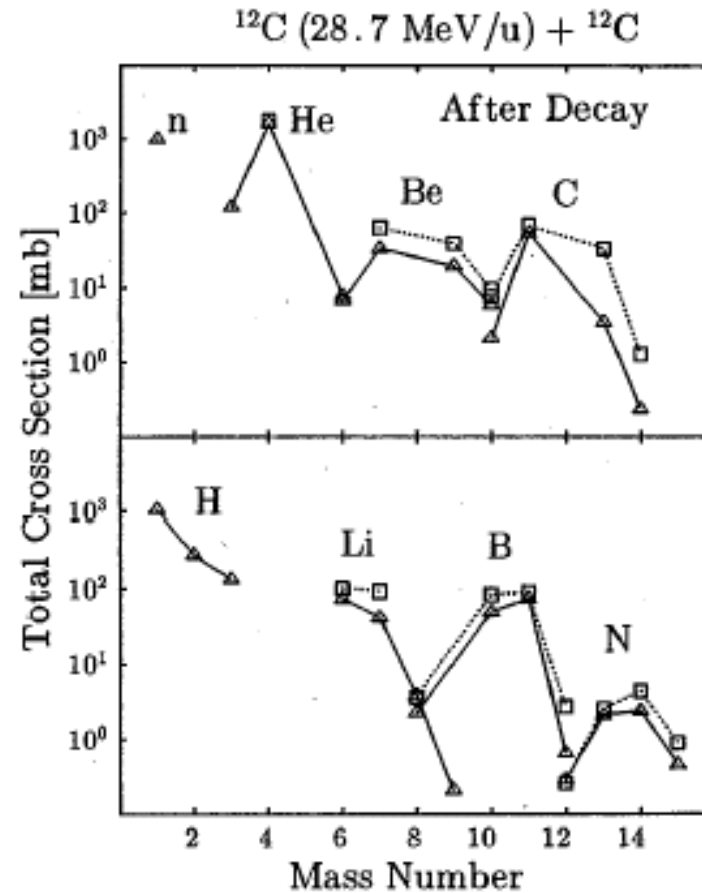
$$Y_f \propto g_f \exp((B_f + Z \mu_p + N \mu_n)/T)$$
$$\rightarrow \frac{Y(^4\text{He})/Y(^3\text{He})}{Y(^7\text{Li})/Y(^6\text{Li})} \propto \exp(\Delta B/T)$$

Molecular Dynamics Study of Fragmentation

Quantum Molecular Dynamics (QMD)
& Antisymmetrized Molecular Dynamics (AMD)
→ Reaction Dynamics, Mass & Isotope Dist.



Maruyama, Ohnishi, Horiuchi, PRC45('92)2355



Ono, Horiuchi, Maruyama, Ohnishi,
PTP87('92)1185

Molecular Dynamics Study of Fragmentation

フラグメント分布を求める手続き

Equation of Motion

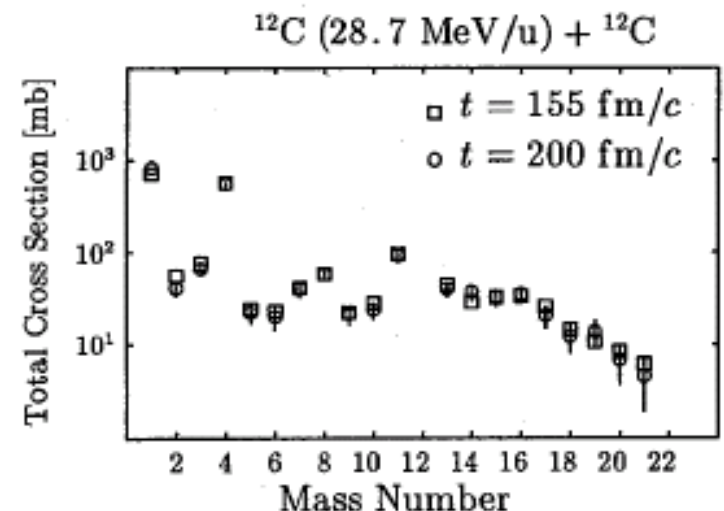
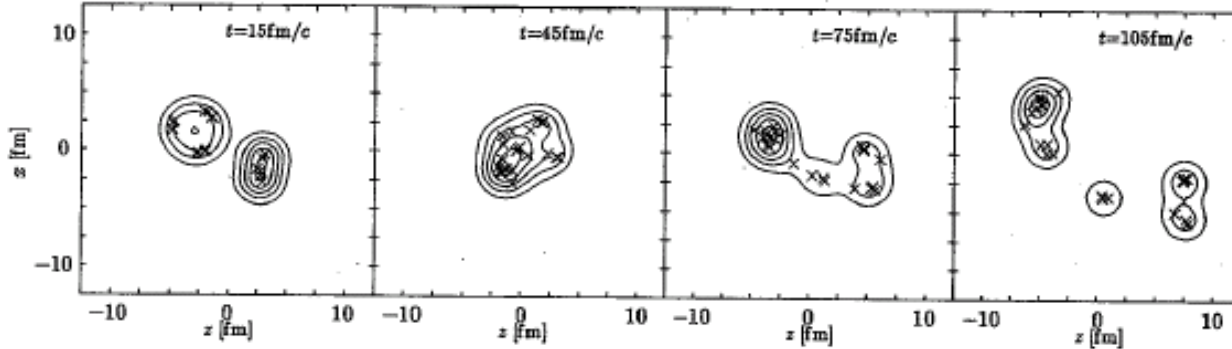
Gauss 波束の(反対称化)積波動関数 + 時間依存変分原理
→ (半古典的な)運動方程式

クラスター判定

終状態で位相空間の近い核子の集合を原子核と判定

統計崩壊

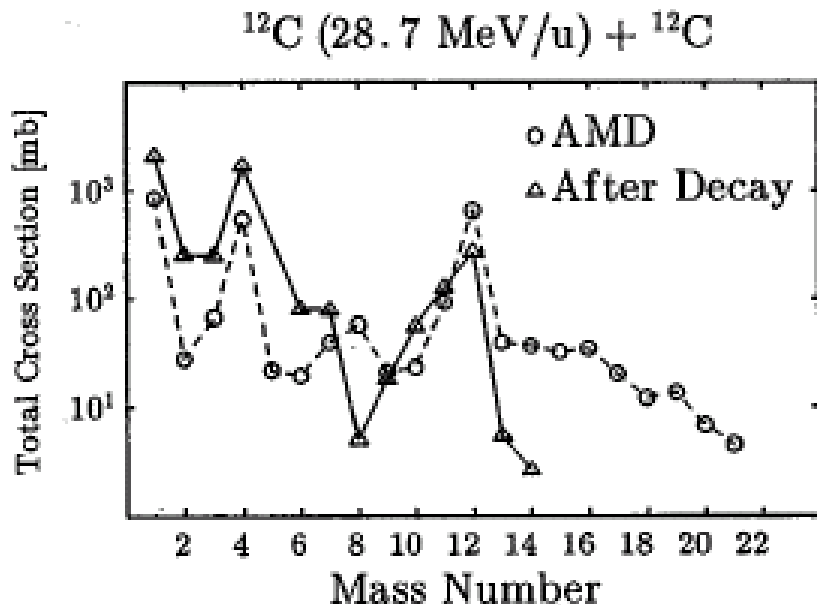
原子核の励起エネルギーと角運動量から統計的に崩壊させる
(after burner)



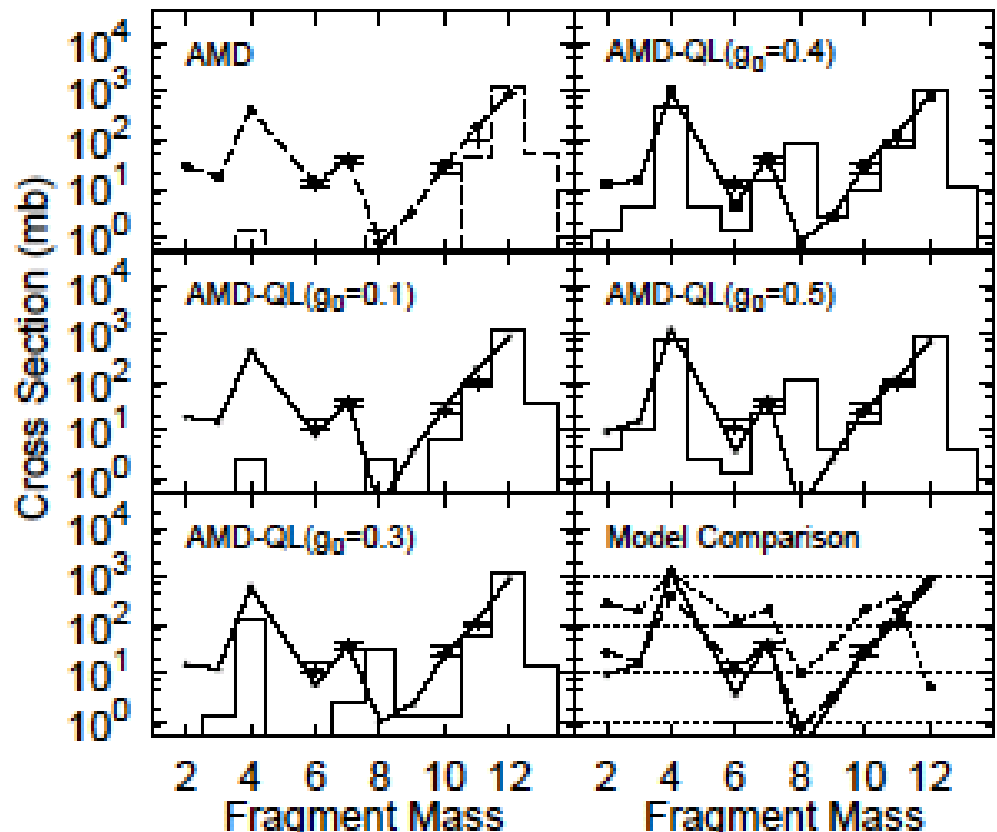
Molecular Dynamics Study of Fragmentation

粒子シミュレーションでの時間スケール

統計崩壊模型で与えられる時間スケールよりも長い
→ 古典的シミュレーションの問題点



Ono et al., 1992



p+12C (45 MeV)

Hirata,Nara,Ohnishi,Harada,Randrup, 1999

Lessons from HIC @ 100 A MeV

フラグメントの起源

→ まず質量数の大きな励起した原子核が作られ、
その「統計的」崩壊により多くの原子核が作られる。

「大きな原子核の高い励起状態の状態数 ~ 位相空間」

→ 短い時間スケールでの系の励起エネルギー分布は
古典的なシミュレーションでよく説明可能であろう。

基底状態フラグメント放出、低エネルギーでの核子放出には、
エネルギー集中が必要 → 統計崩壊模型との組み合わせが必要。

反応・崩壊の時間スケールが近い場合の問題点

軽イオン(d, t, ^3He , ...)、中間質量片(IMF)生成は
比較的短時間でおこる

→ 量子揺らぎ、Coalescence 過程、軽イオン自体の輸送等を
あらわに取り入れる必要がある。

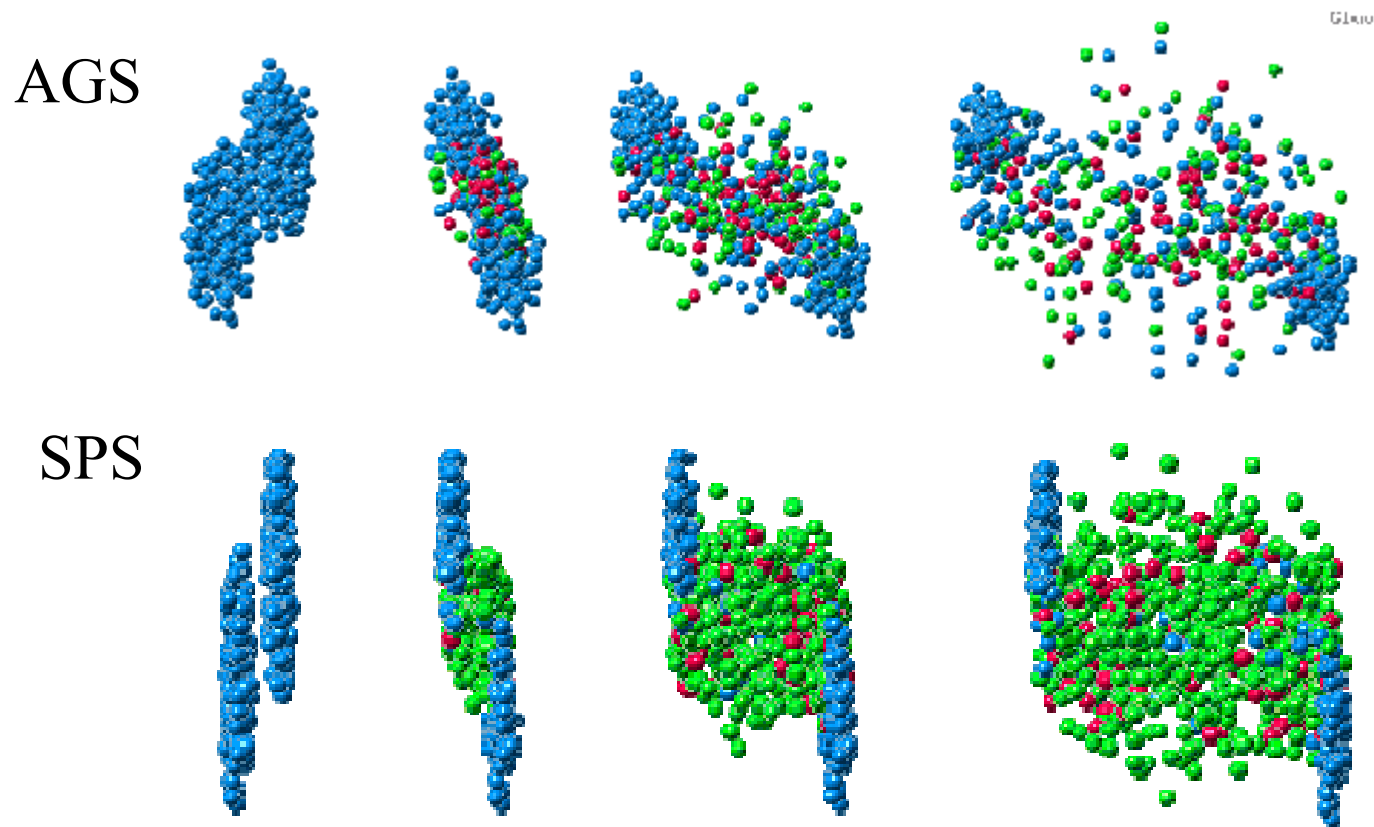
時間スケールをそのまま信頼できないだろう例(東大関連の仕事)

→ Penta Quark の崩壊幅、超新星での Pasta 状態生成時間
(おそらく古典シミュレーションより短い時間でおこる。結論は問題なし)

Heavy-Ion Collisions at $E_{\text{inc}} \sim (1\text{-}100) A \text{ GeV}$

Study of Hot and Dense Hadronic Matter

→ Particle Yield, Collective Dynamics (Flow), EOS,



JAMming on the Web, linked from <http://www.jcprg.org/>

Collective Flow and EOS: Old Problem ?

1970's-1980's: First Suggestions and Measurement

Hydrodynamics suggested the Existence of Flow.

Strong Collective Flow suggests Hard EOS

1980's-1990's: Deeper Discussions in Wider E_{inc} Range

Momentum Dep. Pot. can generate Strong Flows.

E_{inc} deps. implies the importance of Momentum Deps.

Flow Measurement up to AGS Energies.

2000's: Extension to SPS and RHIC Energies

EOS is determined with Mom. AND Density Dep. Pot. ?

Old but New (Continuing) Problem !

Mean Field Dynamics + Two-Body Collision

BUU Equation (Bertsch and Das Gupta, Phys. Rept. 160(88), 190)

Time-Dependent Hartree-Fock Eq. を Wigner 変換→ Vlasov Eq.

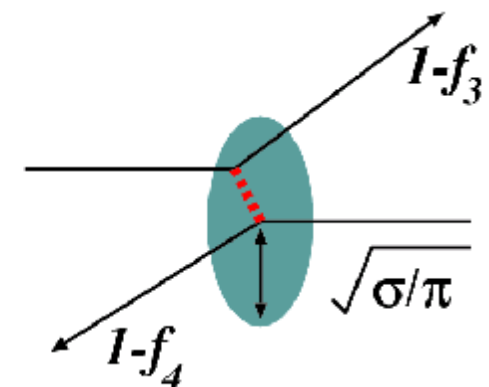
Pauli blocking を導入した Boltzmann 方程式の衝突項を導入

- 低エネルギーで重要な平均場理論と
高エネルギー(>100 A MeV) で支配的なカスケード過程を統合
- どのような粒子自由度を導入すべきか？

$$\frac{\partial f}{\partial t} + \mathbf{v} \cdot \nabla_r f - \nabla U \cdot \nabla_p f = I_{coll}[f]$$

$$I_{coll}[f] = -\frac{1}{2} \int \frac{d^3 p_2 d\Omega}{(2\pi\hbar)^3} v_{12} \frac{d\sigma}{d\Omega}$$

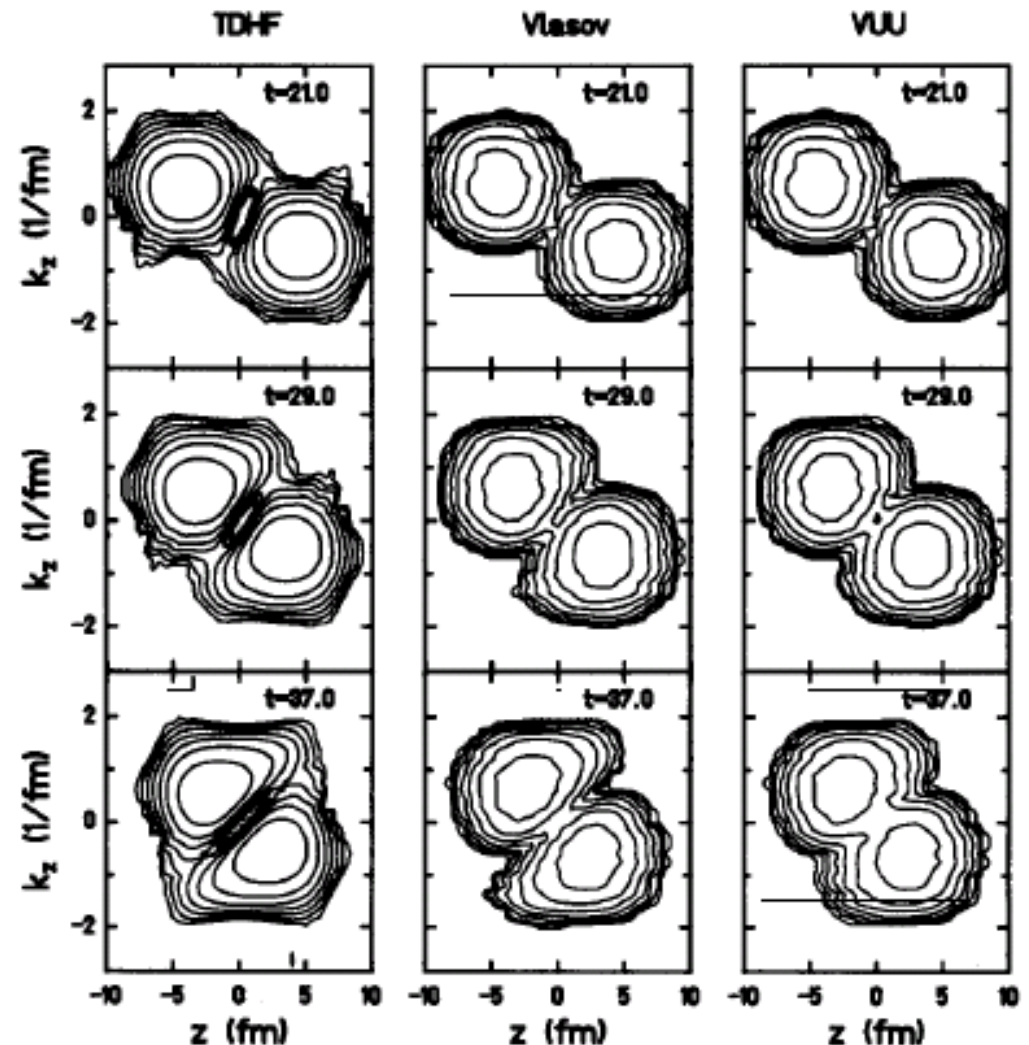
$$\times [f f_2 (1-f_3)(1-f_4) - f_3 f_4 (1-f)(1-f_2)]$$



Comarison of TDHF, Vlasov and BUU(VUU)

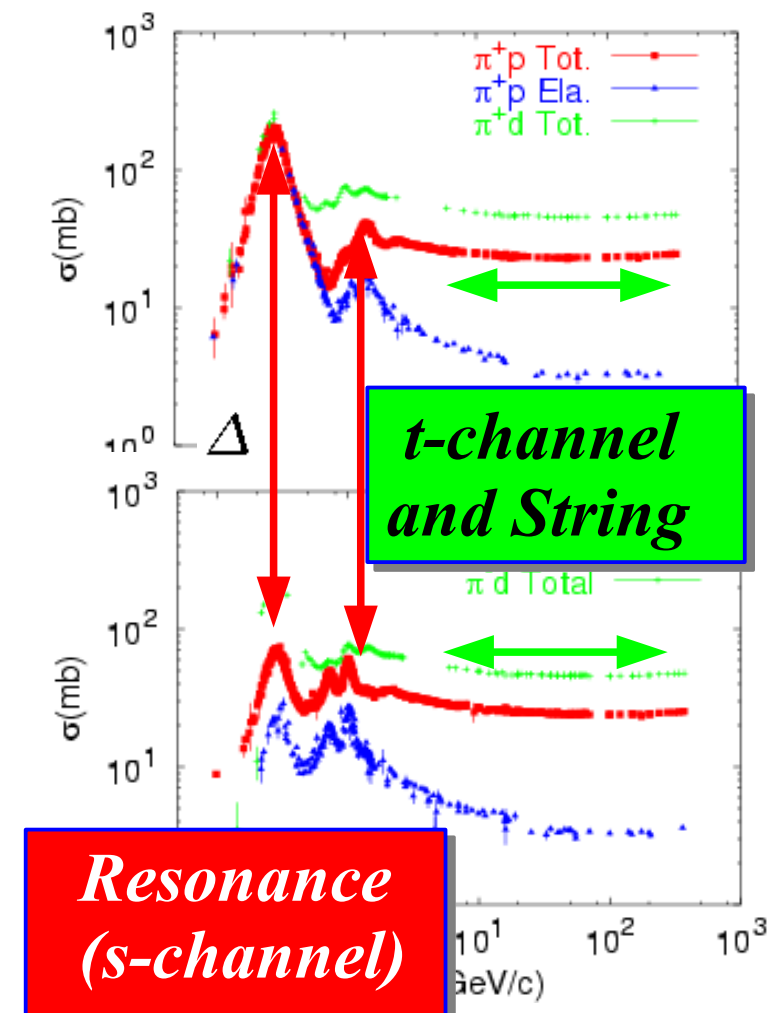
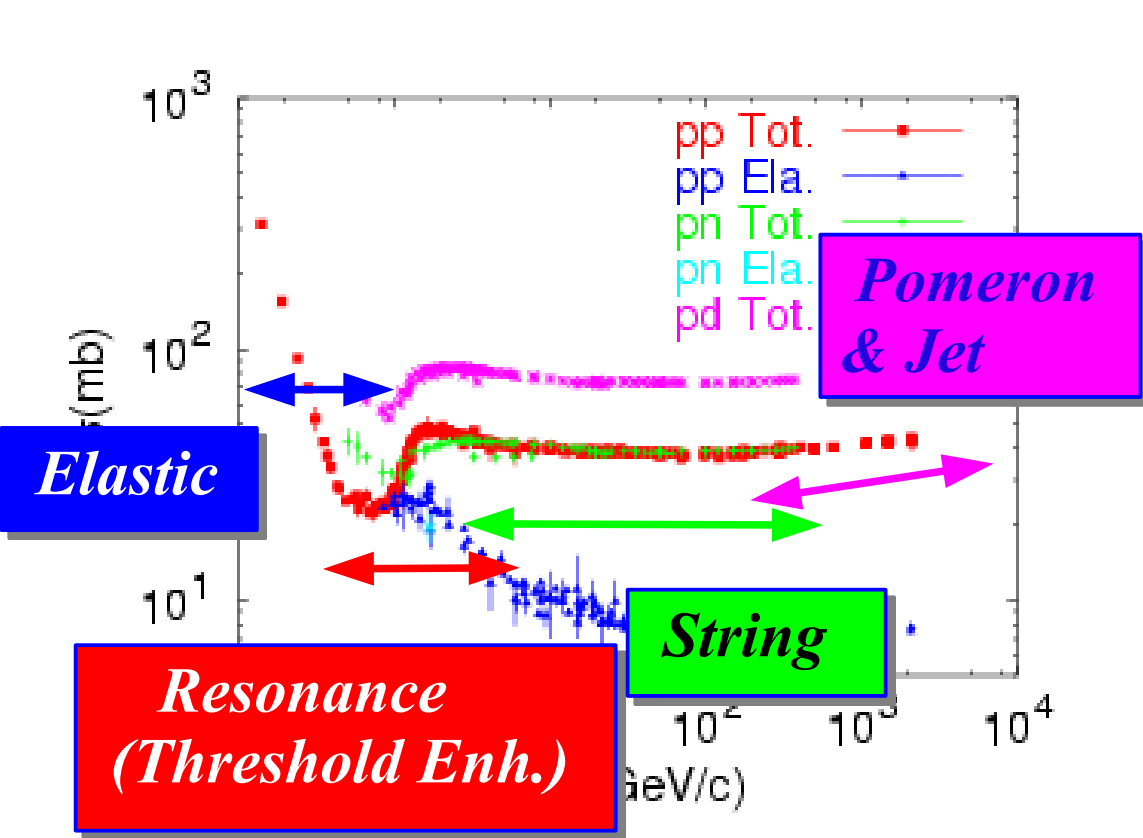
Ca+Ca, 40 A MeV

(Cassing-Metag-Mosel-Niita, Phys. Rep. 188 (1990) 363).



Hadron-Hadron Cross Sections

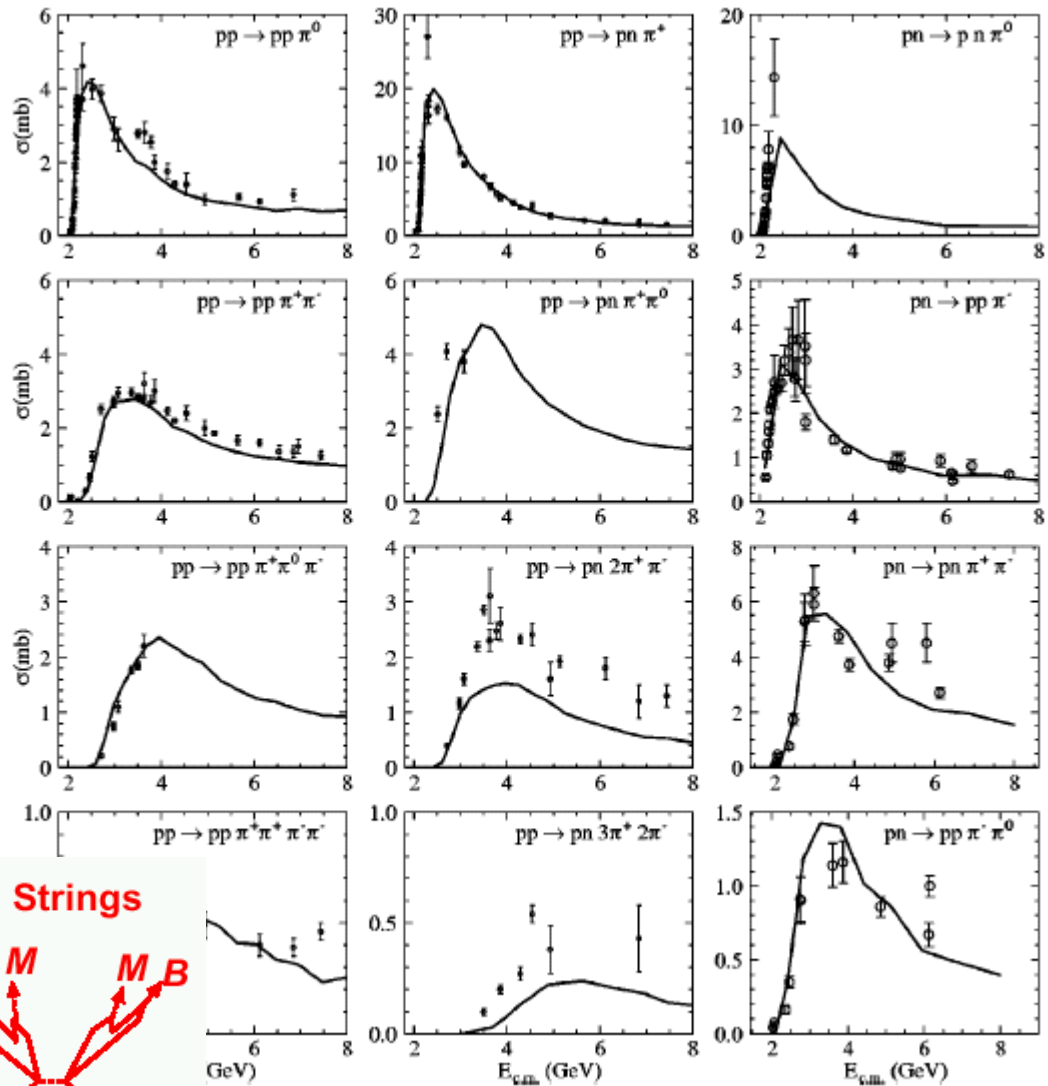
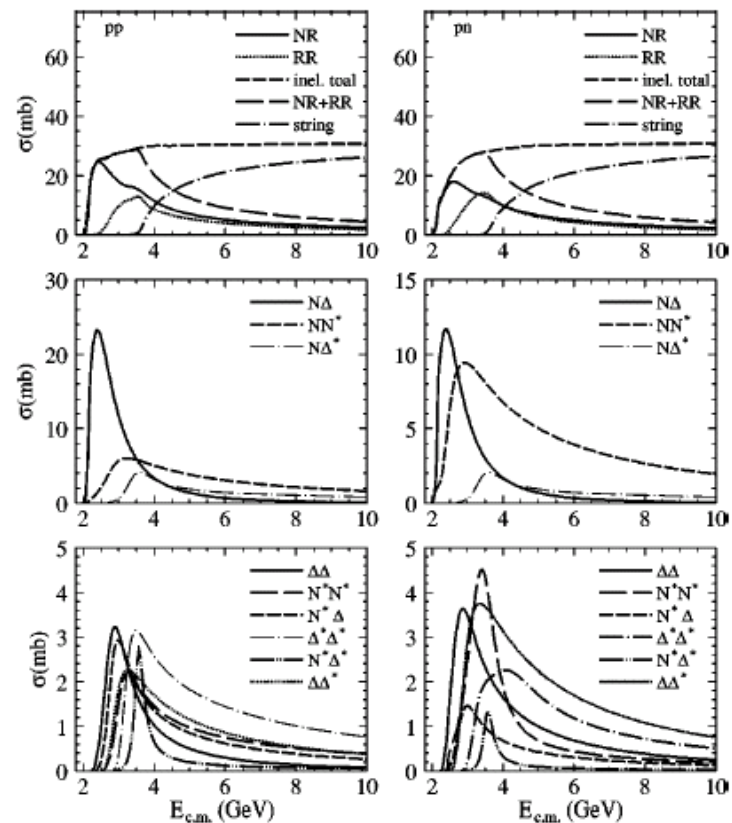
From Particle Data Group



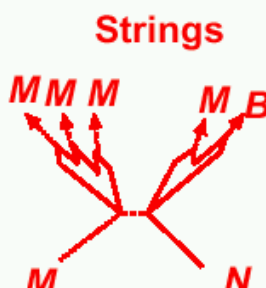
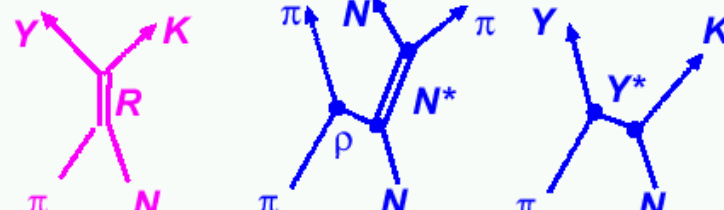
Exclusive Cross Sections in JAM

Nara, Otuka, AO, Niita, Chiba (JAM), PRC 61 (2000), 024901.

Ground State Hadrons, Resonances, and Strings

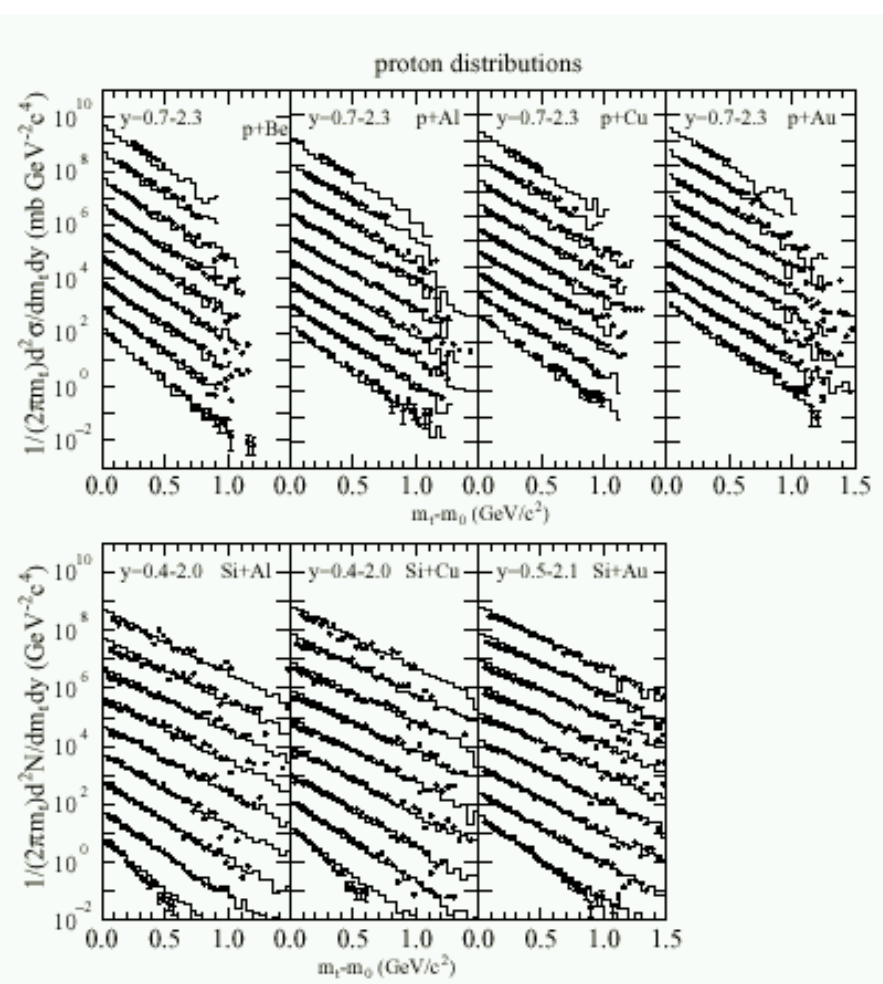


s-channel
R (or *S*) Form. *t*-channel
Reggeon Exch. *u*-channel
Baryon Exch.

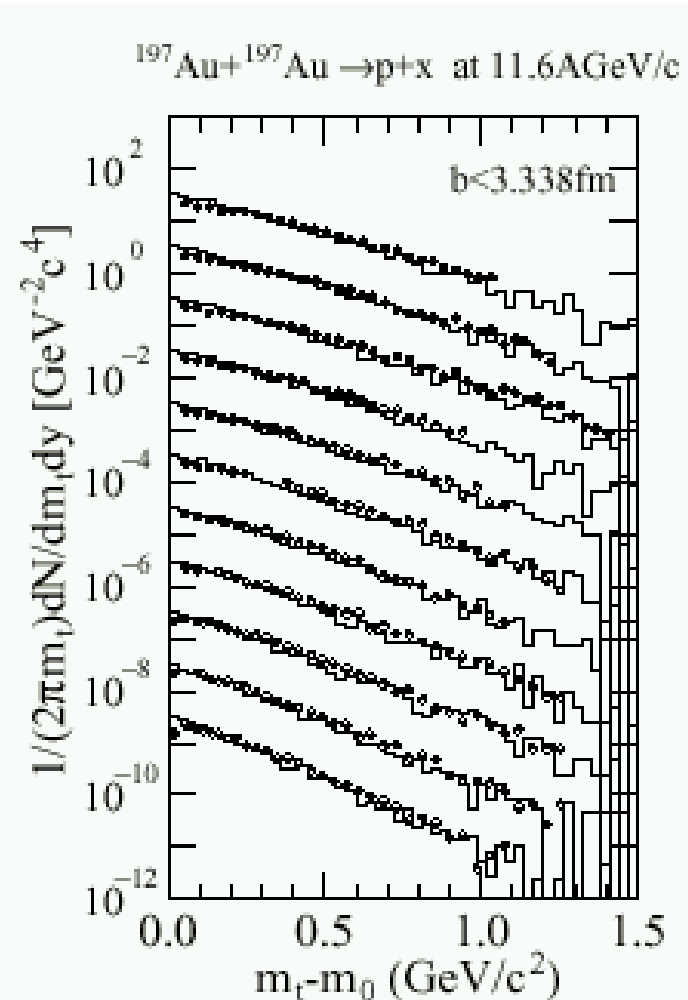


JAM Results @ AGS Energy

p-A collisions



Au+Au Collision



JAM explains AA collisions as well as pA collisions:
→ Good Elementary Cross Sections for MM, MN and NN

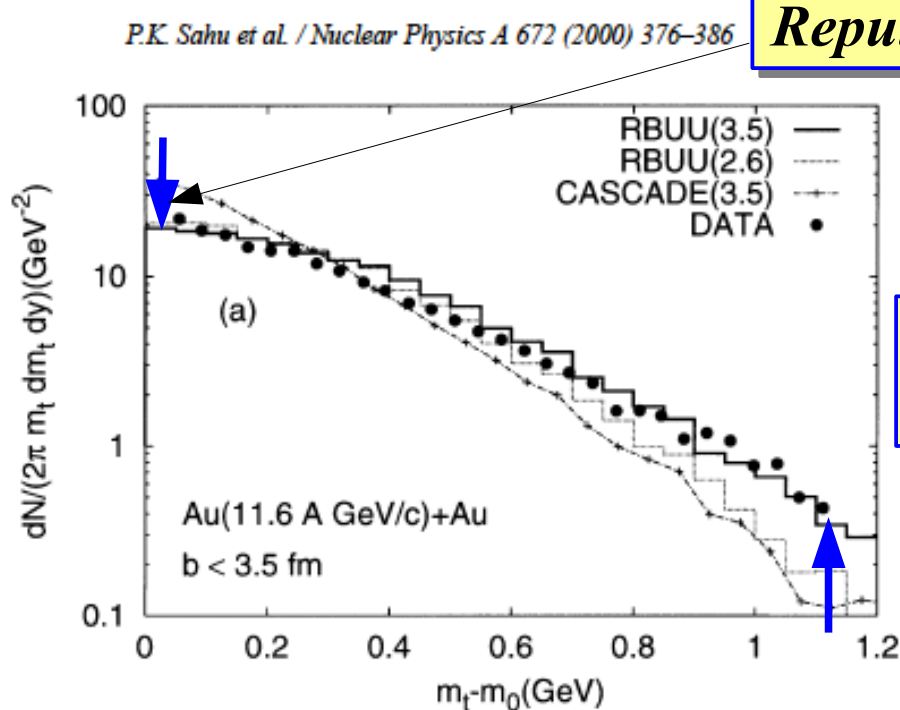
Mean Field and Particle DOF Effects @ AGS

Mean Field Effects at AGS

→ Visible but small for p_T spectrum
Essential for Flow

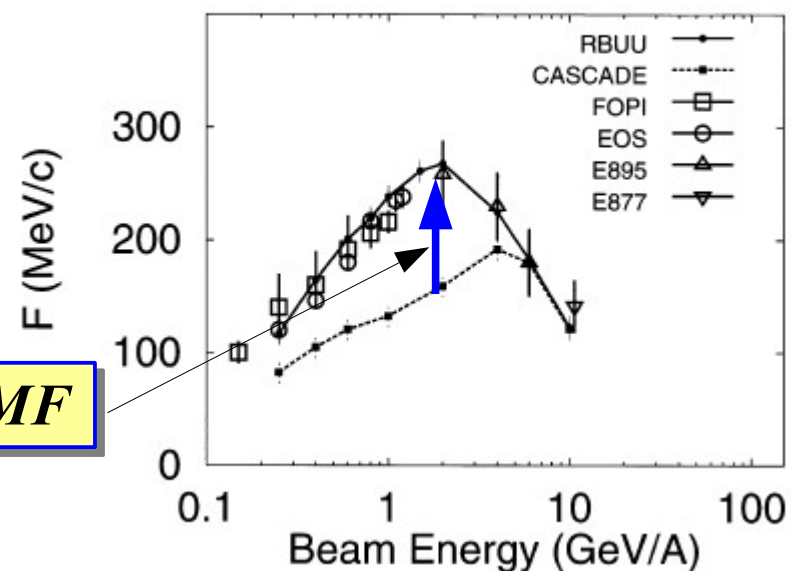
Particle DOF Effects

→ Seen at high p_T



Sahu, Cassing, Mosel, Ohnishi, 2000

P.K. Sahu et al. / Nuclear Physics A 672 (2000) 376–386



Repulsive MF

**Switching $\sqrt{s} = 3.5 \text{ GeV}$
(JAM fit)**

**Switching $\sqrt{s} = 2.6 \text{ GeV}$
(HSD default)**

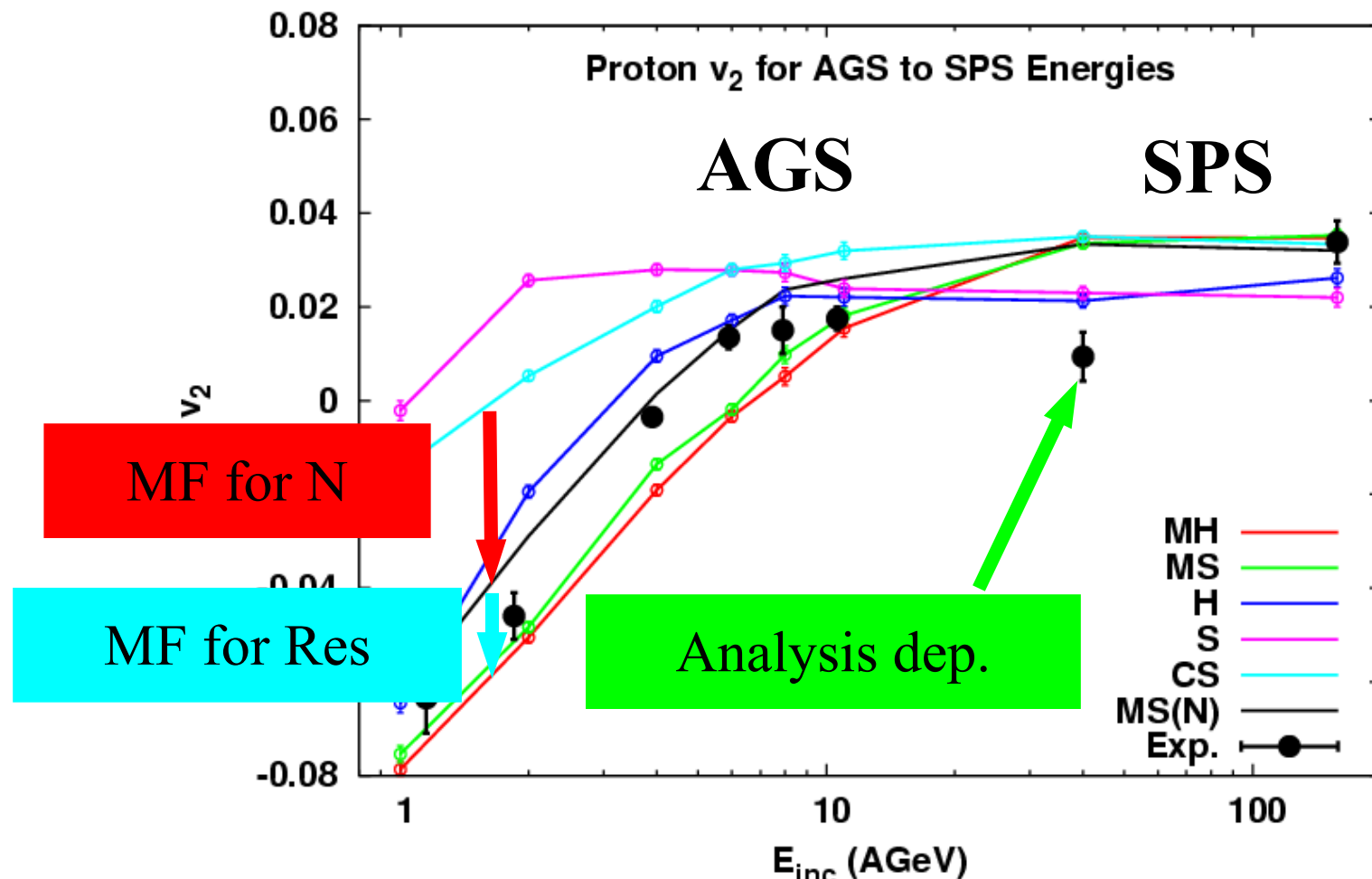
Elliptic Flow from AGS to SPS

Isse, AO, Otuka, Sahu, Nara, PRC 72 (2005), 064908

JAM-MF with p dep. MF explains proton v2 at 1-158 A GeV

v2 is not very sensitive to K (incompressibility)

Data lies between MS(B) and MS(N)

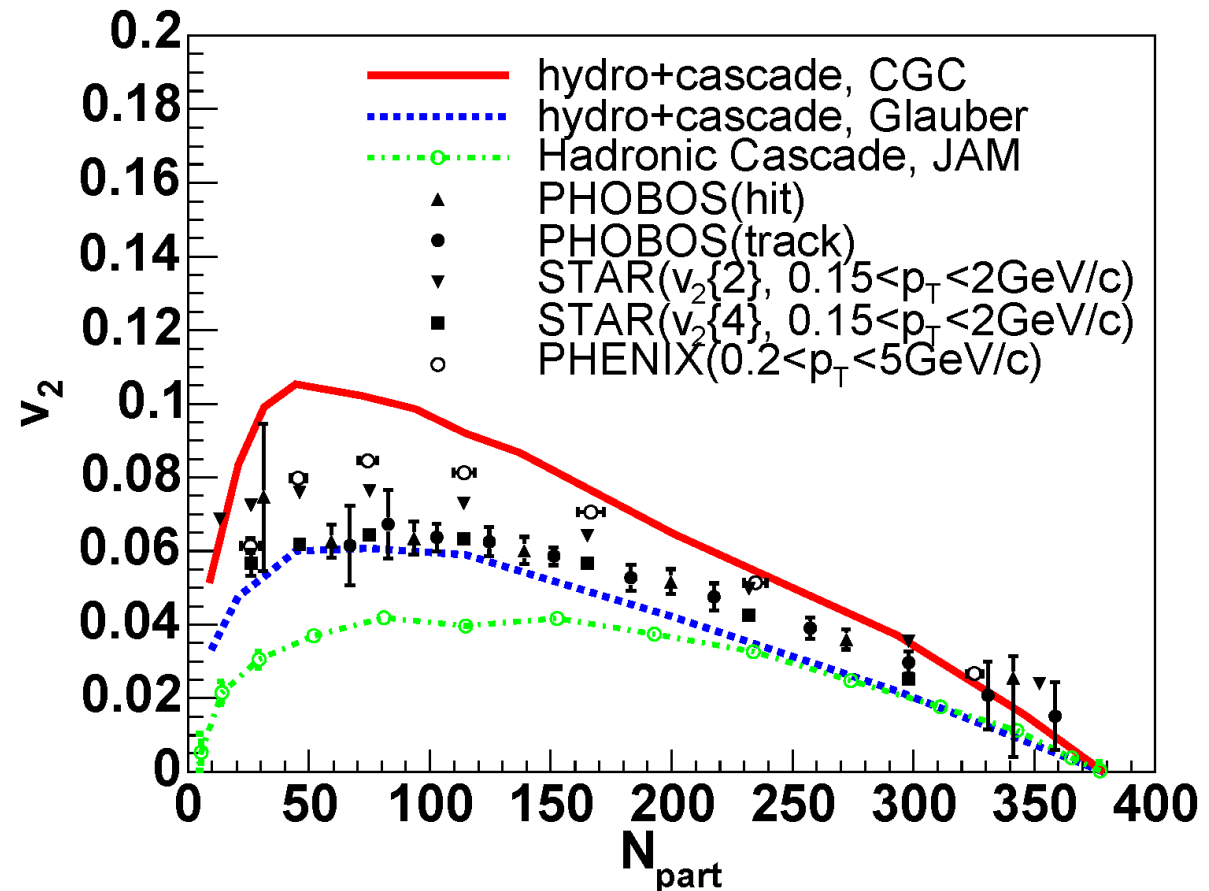


Cascade vs Hydro @ RHIC: Au+Au

Comparison of v2 as a function of N_{part}

Cascade predict smaller v2 in peripheral collisions

Data lies between hydro results with two different initial condition CGC (Color Glass Condensate) and Glauber type initial condition.



*Hydro is better,
CGC may be realized
in central collisions.*

Lessons from AGS and SPS Energy HIC

粒子生成の主要過程

1 A GeV Energy → 共鳴粒子生成 + 共鳴崩壊

10 A GeV Energy (AGS) → 2共鳴ハドロン生成、ストリング生成+崩壊

100 A GeV Energy (SPS) → ストリング生成+崩壊

必要な自由度の輸送を取り入れる必要性

pT スペクトルに直接的に影響を与える。

あらわな自由度を取り入れない場合

→ formation time 等を導入して相互作用の強さ(圧力)を調整
(量子論的な「漸近領域に達する時間」だけではないだろう)

RHICエネルギーでのハドロン輸送模型の失敗

SPS エネルギーまでで成功している formation time を使うと、
反応初期での相互作用が小さすぎる
→ 遅い熱平衡化時間、小さな橢円フロー(特に high pT)

Jet-Fluid String 模型における粒子相関

東大理、阪大理^A、北大理^B、フランクフルト大^C
平野哲文、一瀬昌嗣^A、水川零^B、奈良寧^C、大西明^B、吉野公二^B

Hadron correlations in Jet-Fluid String model

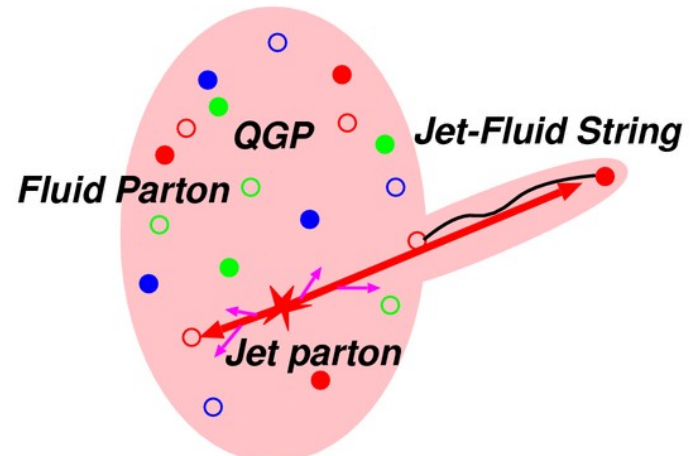
T.Hirano, M.Isse^A, R. Mizukawa^B, Y.Nara^C, A. Ohnishi^B, K.Yoshino^B
U. Tokyo, Osaka U.^A, Hokkaido U.^B, Frankfurt U.^C

Introduction

High p_T でのハドロン化模型

JFSでのハドロン相関

まとめ



Isse, Hirano, Mizukawa, AO, Yoshino, Nara, nucl-th/0702068

High p_T ハドロン生成

GSI, AGS, SPS → 共鳴ハドロン、ストリング生成と破碎

Nara et al., PRC61('00),024901; Isse et al., PRC72('05),064908.

RHICでの標準描像 = pQCD+E-loss+独立破碎

$$\frac{dN^{AA}(b)}{dy d^2 p_T} = \int d\mathbf{r}_T t_A(\mathbf{r}_T - \mathbf{b}/2) t_B(\mathbf{r}_T + \mathbf{b}/2) \quad \text{Geometry}$$
$$\times K \sum_{abcd} \int dx_a dx_b d^2 k_a d^2 k_b f_{a/A} f_{b/B} \frac{d\sigma^{ab \rightarrow cd}}{d\hat{t}} \quad \text{pQCD} \times \text{K-fac.}$$
$$\times D(E_c - \Delta E_c(\mathbf{r}_T); c \rightarrow h) \quad \text{E-loss + Indep. Frag.}$$

→ しかし問題は残っている (high p_T での v_2 など)

→ RHICではストリング破碎は必要ないのか？

Hirano et al., PLB636('06)299 (afterburner improves v_2 in Hydro+Jet)

Sahu et al. Pramana 67 ('07)257 (cascade → low p_T data except for v_2)

Parton Cascade (Kinder-Geiger) (Parton cluster → hadrons)

Jet-Fluid String formation and decay: Model

Isse, Hirano, Mizukawa, AO, Yoshino, Nara, nucl-th/0702068

ミニジェット生成=pQCD (PYTHIA 6.4)

QGP中のパートン伝播

3次元流体模型

Hirano-Nara, PRL91('03), 082301;

PRC69('04), 034908

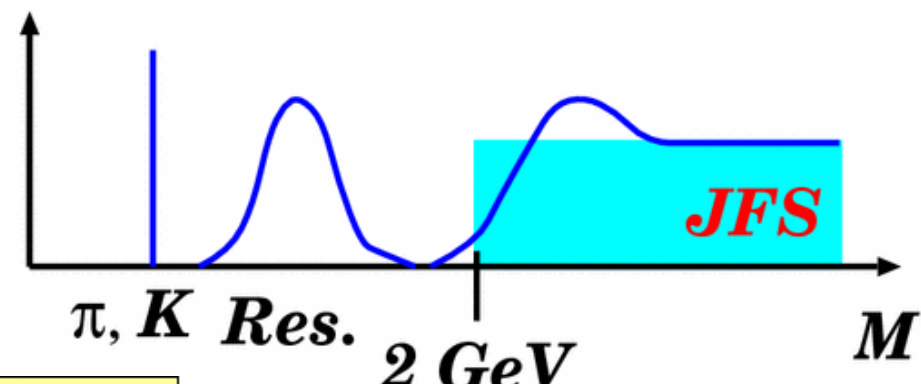
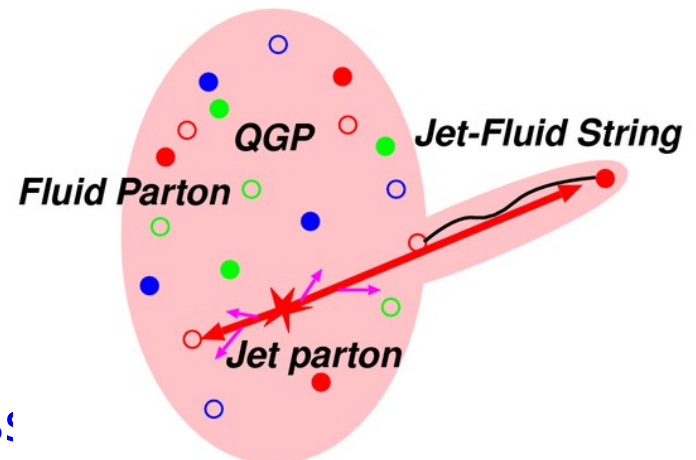
Hirano,Tsuda, PRC66('02), 054905

GLV エネルギー損失× factor (C) Gyulassy

Levai-Vitev, PRL85('00), 5535.

ストリング生成・破碎

”スペクトル”関数 $\Theta(\sqrt{s} - 2 \text{ GeV})$



$$D(j \rightarrow h) = \int d^3 k_f f_f(k_f, T, u_\mu, \mathbf{x}(\tau_f)) \\ \times S(s = (k_j + k_f)^2) D(\text{String}(\sqrt{s}, k_j, k_f) \rightarrow h)$$

Jet-Fluid String formation and decay: Results

Isse, Hirano, Mizukawa, AO, Yoshino, Nara, nucl-th/0702068

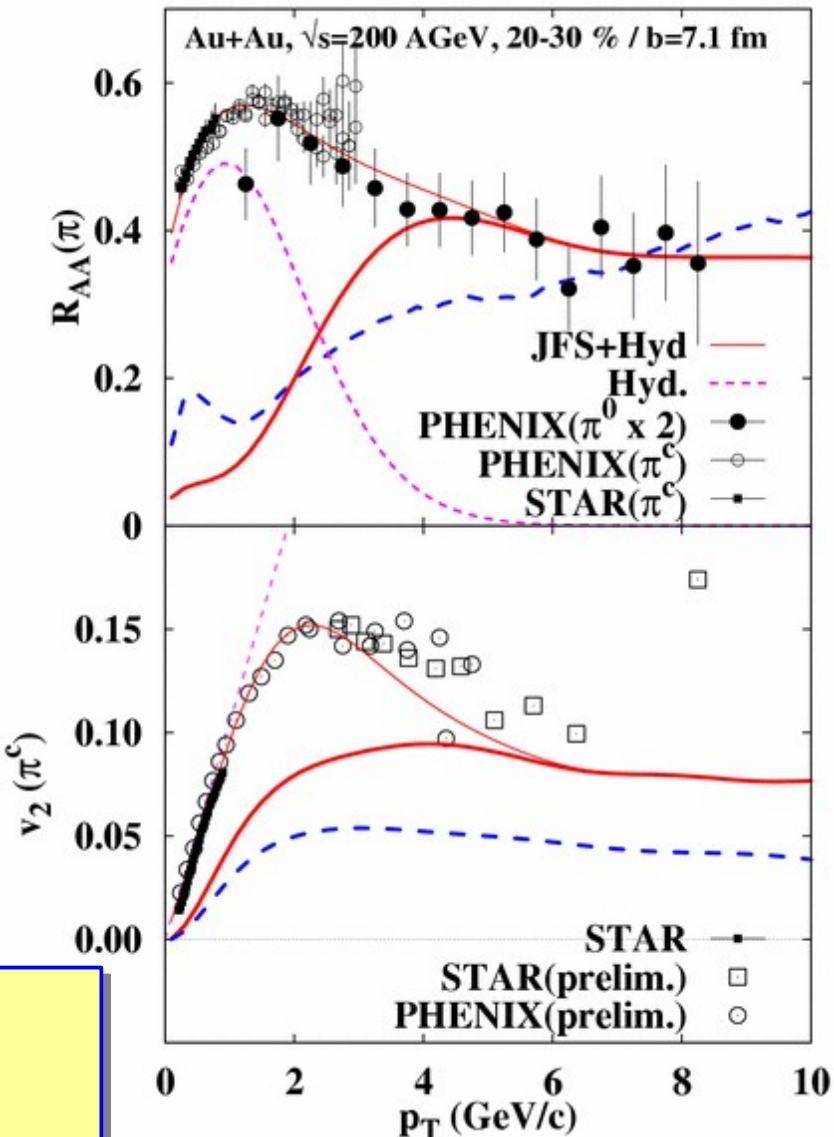
高いhigh p_T ハドロン生成率
→ 大きなエネルギー損失が必要

R_{AA} fit → E-loss fac. $C = (6-8)$
 $C = (2-3)$ in Hydro+Jet (Hirano-Nara)

大きなエネルギー損失
+流体パートンの v_2
→ high p_T での大きな v_2

$v_2 \sim 8\% @ p_T > 6 \text{ GeV}/c$
 $v_2 \sim (3-5)\% \text{ in Indep. Frag.}$

High pT で RAA を説明する E-loss で
 v_2 データをほぼ説明
→ なぜ high pT ハドロンが作られやすい?

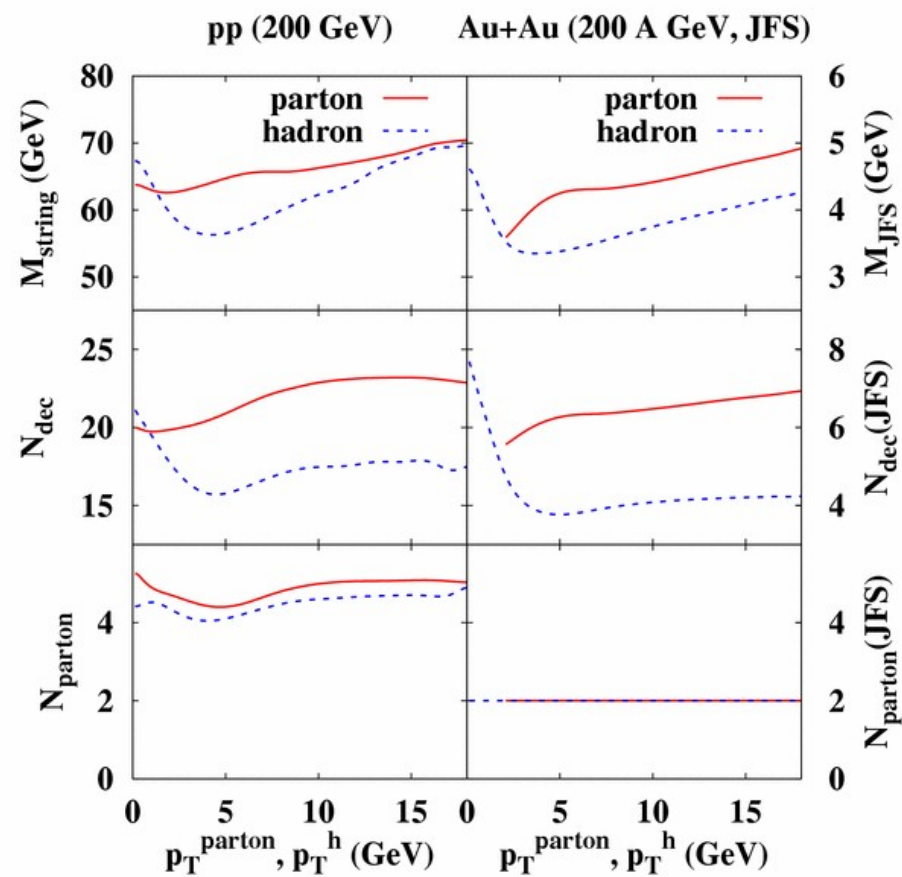
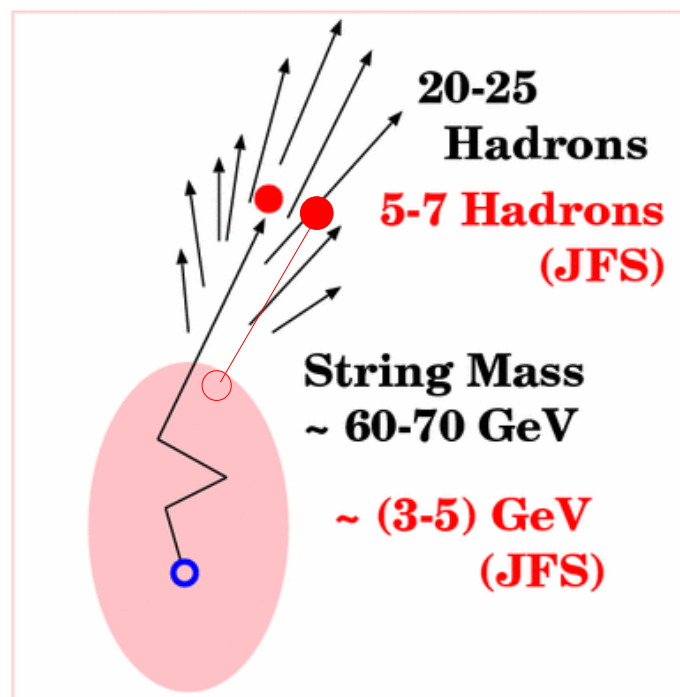


独立破碎模型との比較

独立破碎模型(IF)

ppでは IF ~ストリング破碎
→ 重いストリング(60-70 GeV)が
多くのハドロン(20-25)に崩壊

AAでの IF @ p_T (After E-loss)
~ pp でのストリング破碎 @ p_T



ジェット・パートンの独立破碎
~ 重いストリングの崩壊
→ AA衝突のジェット破碎段階で
これほど重いストリングが作られるか？

High p_T 領域での再結合模型との比較

TT(T) → med. pT

Nonaka et al., PRC69('04),031902

JT → med. pT (soft-hard)

Greco-Ko-Levai, PRC68('03),034904

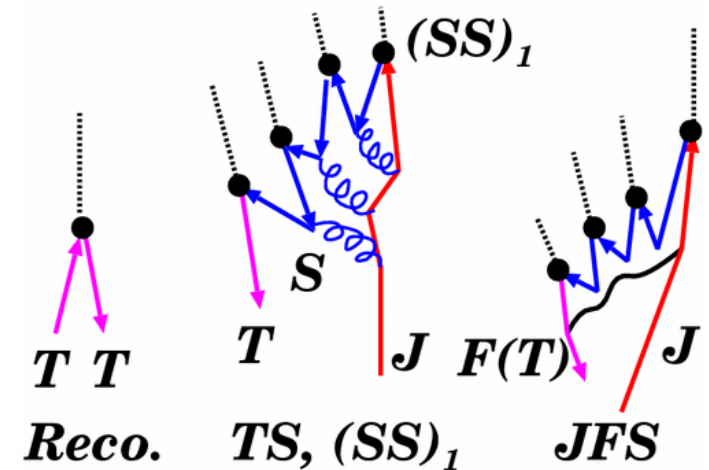
TS → med. pT, $(SS)_1 \rightarrow$ high pT

Hwa-Yang, PRC70('04)024905

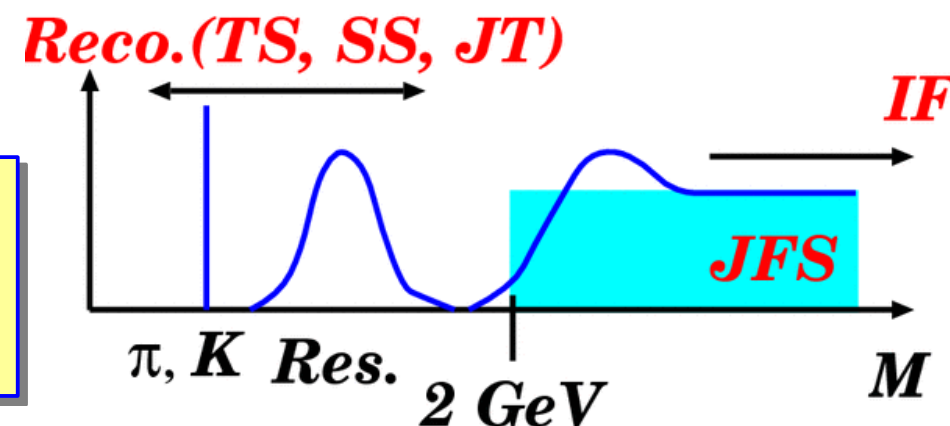
TT(T) → Res. → med./low pT

Greco-Ko, PRC70('04)024901

T: Thermal (Fluid) parton
J: Jet parton
S: Shower parton



$T + "part of Jet"$ によるハドロン生成
 π の直接生成より共鳴崩壊が有利
→ JFS の描像と無矛盾



ハドロンの方位角相関

Au+Au衝突での後方相関の消失=QGP生成の強いシグナル

Hydro + Jet model Hirano & Nara, PRL (2003)

R_{AA} を説明する E-loss では後方相関の抑制が十分でない

ジェットの方向を変える散乱効果を取り入れると説明可能

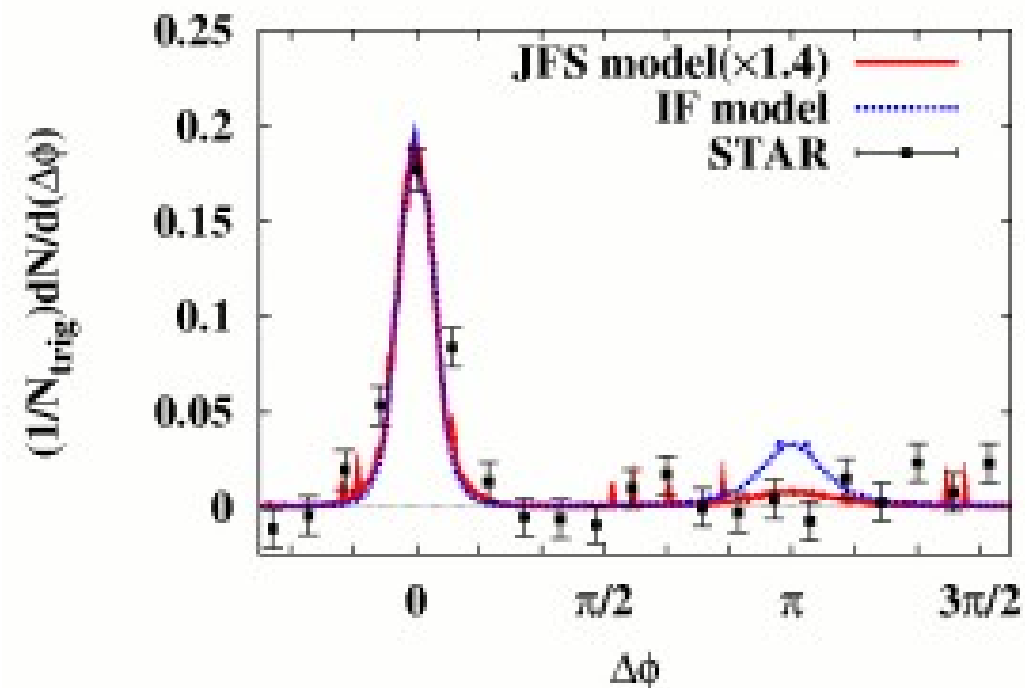
Jet “absorption” model Drees, Feng,Jia, PRC71('05),034909

ジェットパートンが $\exp(-\alpha L)$ の確率で「吸収」

エネルギー損失との
関係は？

JFS

→ R_{AA} を説明するE-loss
により、後方相関は消失



水川、卒論

リッジ構造

Jet-Ridge structure

→ 横に狭く、縦に広い相関

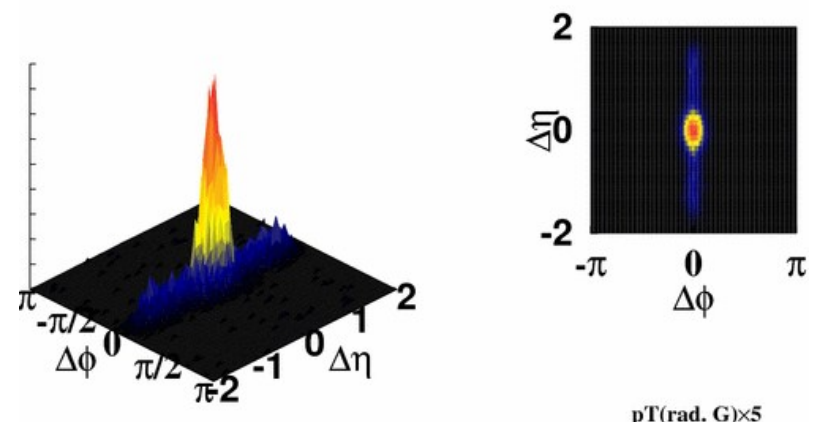
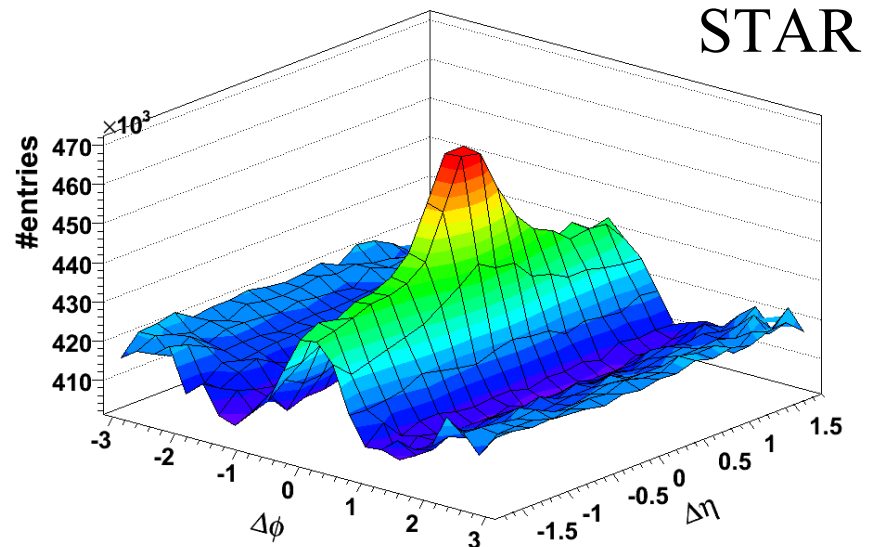
(narrow $\Delta\phi$ + wide $\Delta\eta$ corr.)

JFS では見えない

Chiu and Hwa: 早い時点で Jet に
より熱せられた広い η の範囲の
流体 parton が coalescence

Shuryak: エネルギーを失った jet parton
が流体中の「非平衡成分」と
して現れる

Wong: Jet のエネルギー損失時に
放出された radiation が平衡に達する
前の広い η 分布を持つ bulk parton
に大きな pT を与えてハドロン化
→ radiation の pT を拡大すると、
弱いが ridge 構造を出す



水川

Lessons from RHIC physics (until now....)

分かったこと → jet parton が局所熱平衡に達した bulk quark-gluon matter 中をエネルギーを失いながら伝播し、parton が再結合してハドロンを作る。

jet parton は媒質中でエネルギーを失ってからハドロン化

bulk 部分が完全流体によりうまく記述できる

(SPS energy までは、流体模型は「アイデア」を与えるが、定量的には粒子シミュレーションに勝てなかつた。)

中間 pT 領域で baryon が meson より多く、 v_2 も大きい。

分かりつつあること → QCD 物性

jet は流体への feed back や流体 parton との再結合により、より低い pT ハドロンの分布にも影響を与える。

よく分かっていないこと

初期条件、速い熱平衡化、jet の失われたエネルギーの行き先、jet 起源で十分な量の baryon を作る方法、viscous hydro の輸送係数.....

Heavy-Ion Collisions – Past, Present, Future --

重イオン反応は相図の広い範囲を実験室で探る唯一の手段
ただし非平衡・非一様な現象なので輸送現象を扱う動力学が必要

SPS まで → ハドロン・ストリング輸送、RHIC → Hydro, Jet,

正しい自由度での動力学を作らないと現象は記述できない

多くの粒子は「崩壊」から作られる

励起した大きな原子核の崩壊 → fragments

resonance, string の崩壊 → hadrons

jet, fluid の「崩壊」 → hadrons

古典的な輸送模型では「時間スケール」が大きな問題

(基底状態の) fragment 生成はきわめて「量子論的」な過程

Resonance, string 崩壊は、端点の古典力学を追うよりも、量子論的な理論による崩壊を取り入れることが望ましい。

fragment 生成で(量子論的) coalescence は比較的重要な役割を持つ

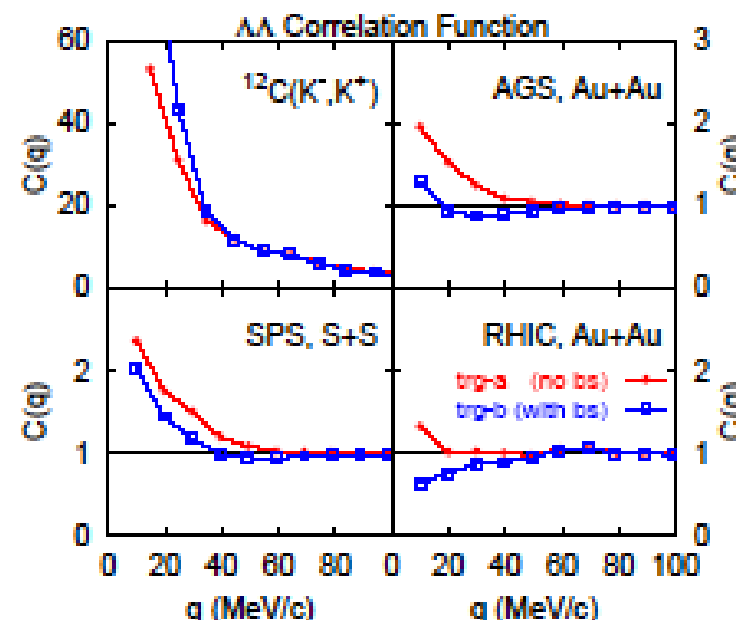
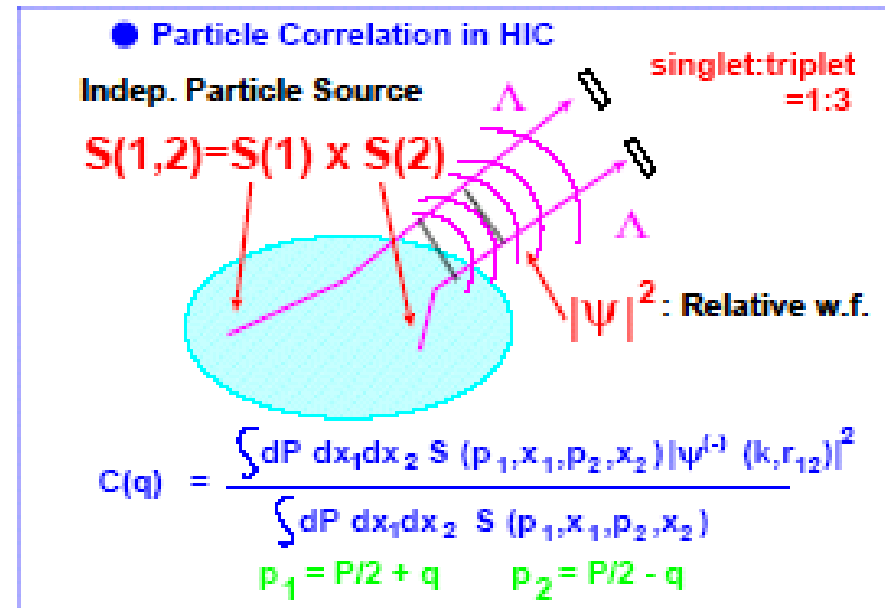
Near Future --- $\Lambda\Lambda$ correlation ---

Longstanding problem in hadron spectroscopy:
Does H ($S=-2$, $B=2$) dibaryon below $\Lambda\Lambda$ threshold ?

RHIC may solve this problem.

If $\Lambda\Lambda$ bound, continuum w.f. must be orthogonal to b.s.w.f and must have a node around the scattering length.

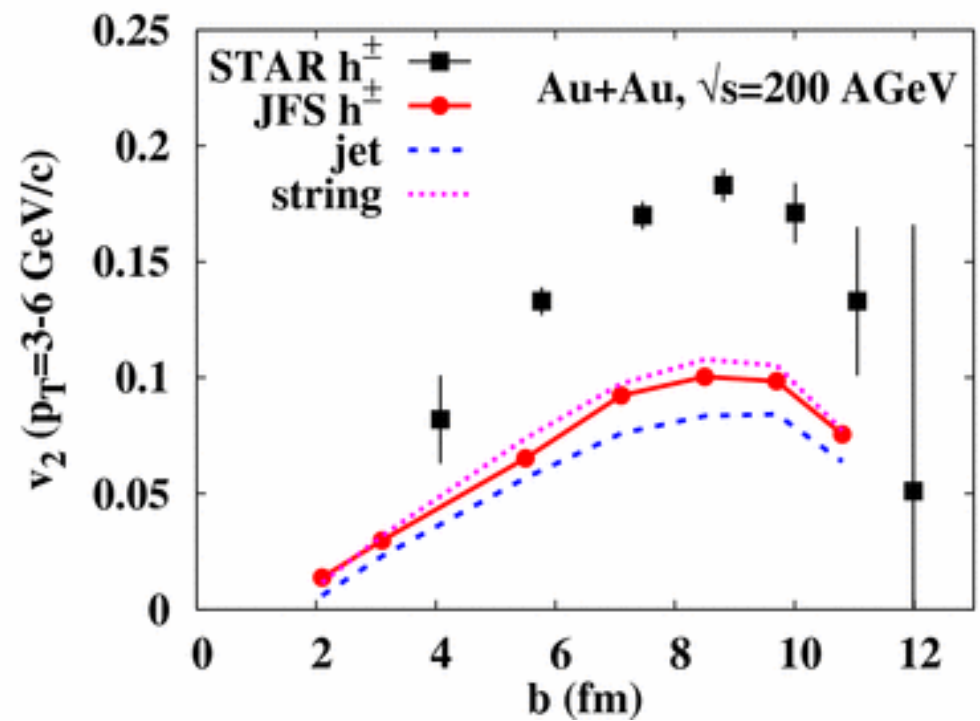
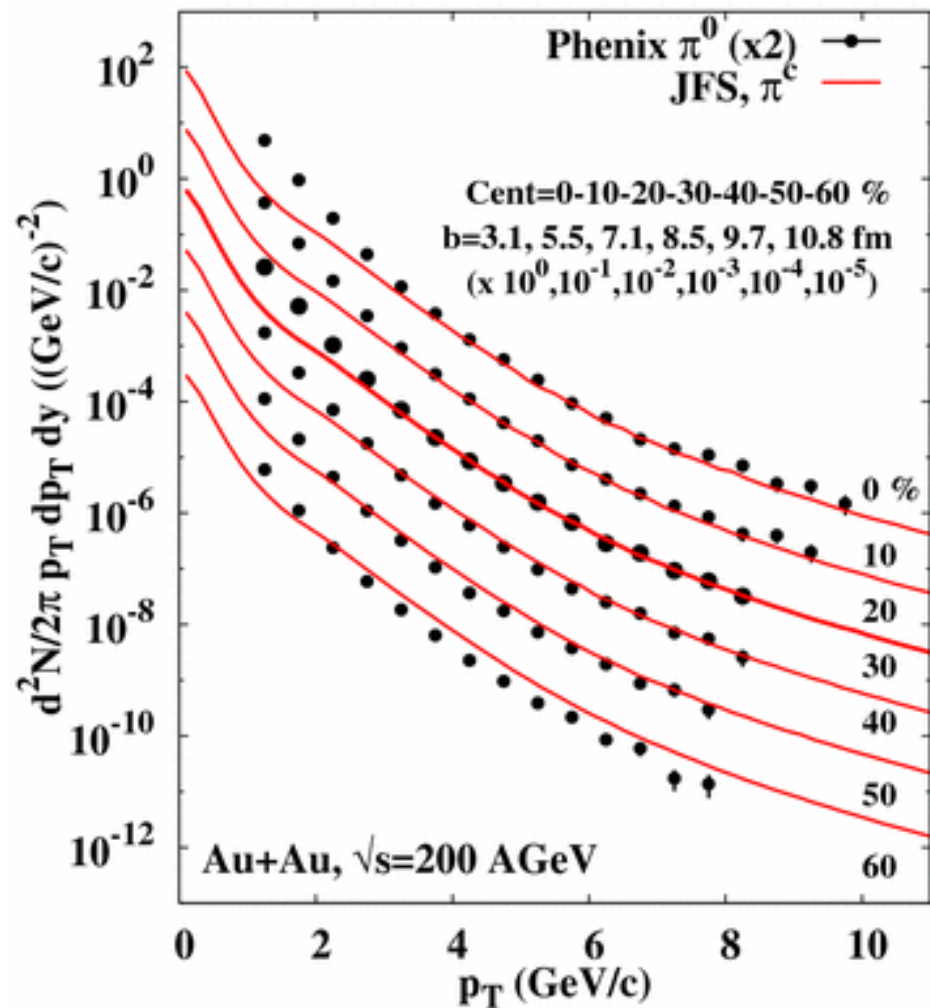
Source size at RHIC may be comparable to the scattering length, and w.f. are suppressed in the source, IFF $\Lambda\Lambda$ bounds.
(Int. between $\Lambda\Lambda$ is attractive.)



Ohnishi et al., NPA 670 (2000), 297c [arXiv:nucl-th/9903021]

Backups

Centrality Dependence

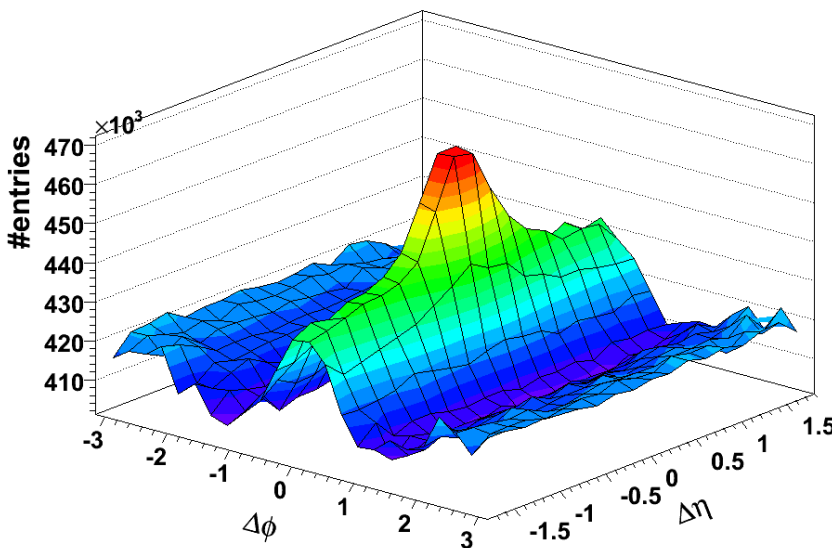


ジェット・リッジ構造

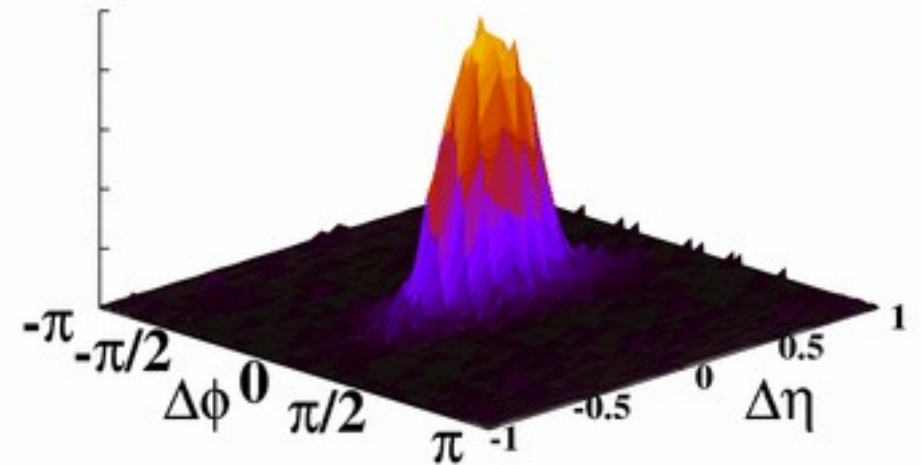
But, ...

JFS模型において、リッジ構造は見られていない
(理由の分析は今後)

Data



JFS



水川、卒論

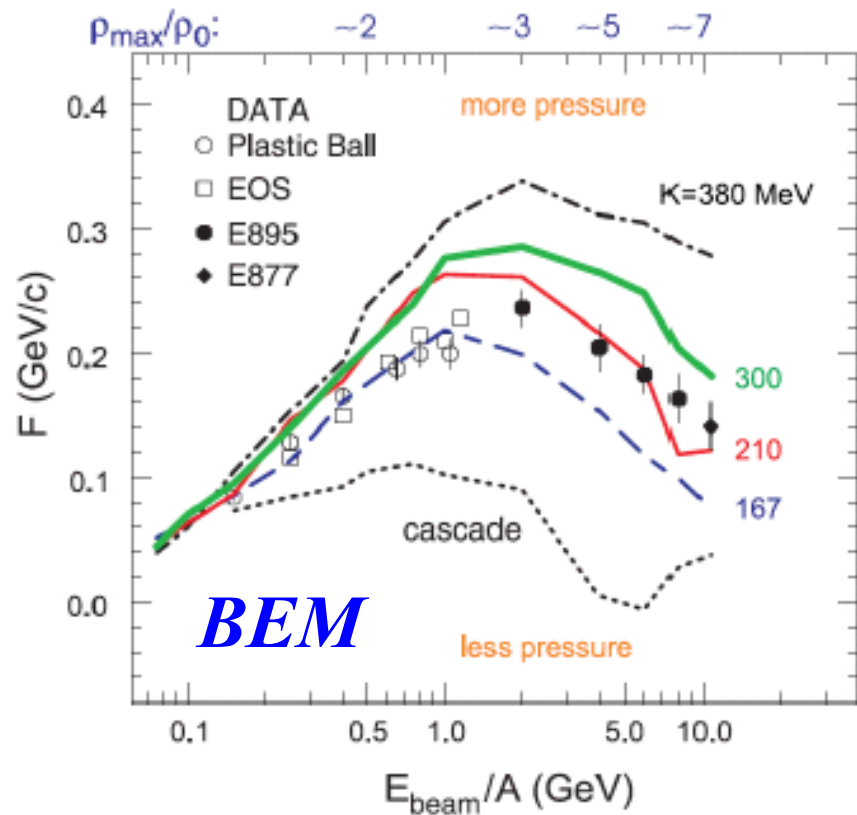
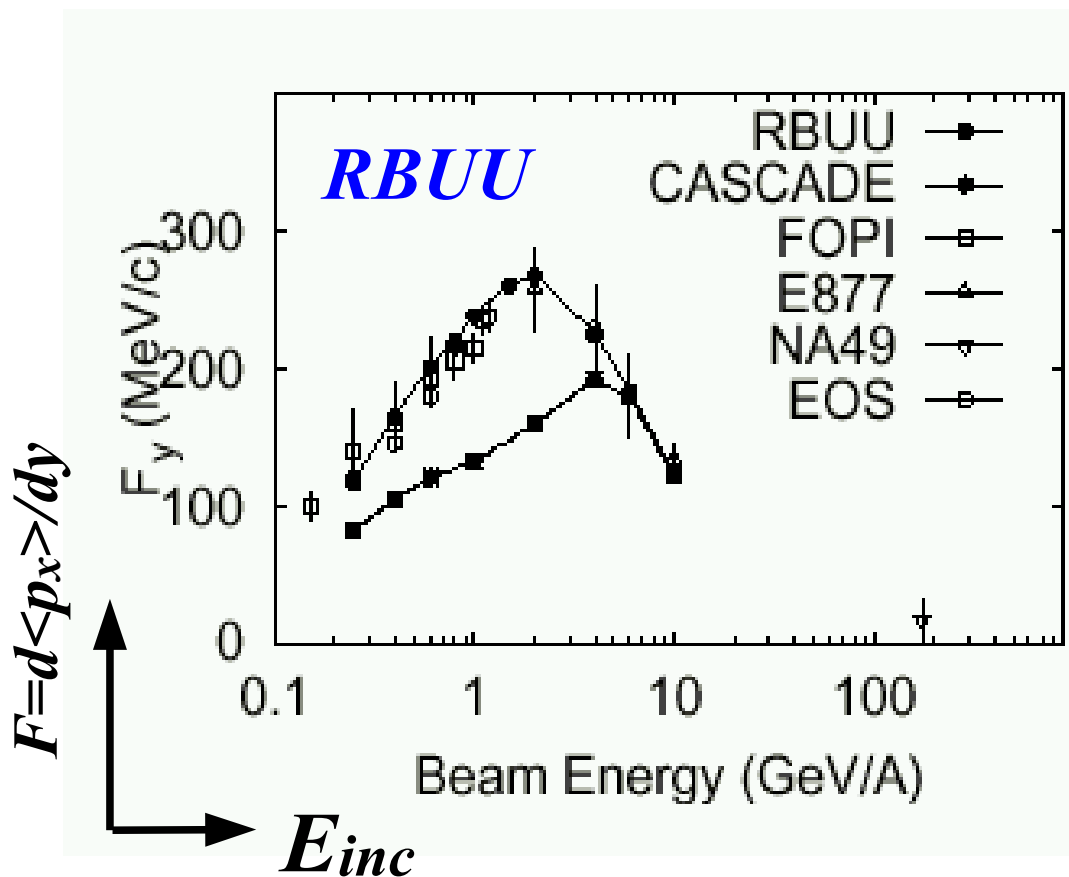
Side Flow at AGS Energies

Relativistic BUU (RBUU) model: $K \sim 300 \text{ MeV}$

(Sahu, Cassing, Mosel, AO, Nucl. Phys. A672 (2000), 376.)

Boltzmann Equation Model (BEM): $K=167\sim 210 \text{ MeV}$

(P. Danielewicz, R. Lacey, W.G. Lynch, Science 298(2002), 1592.)



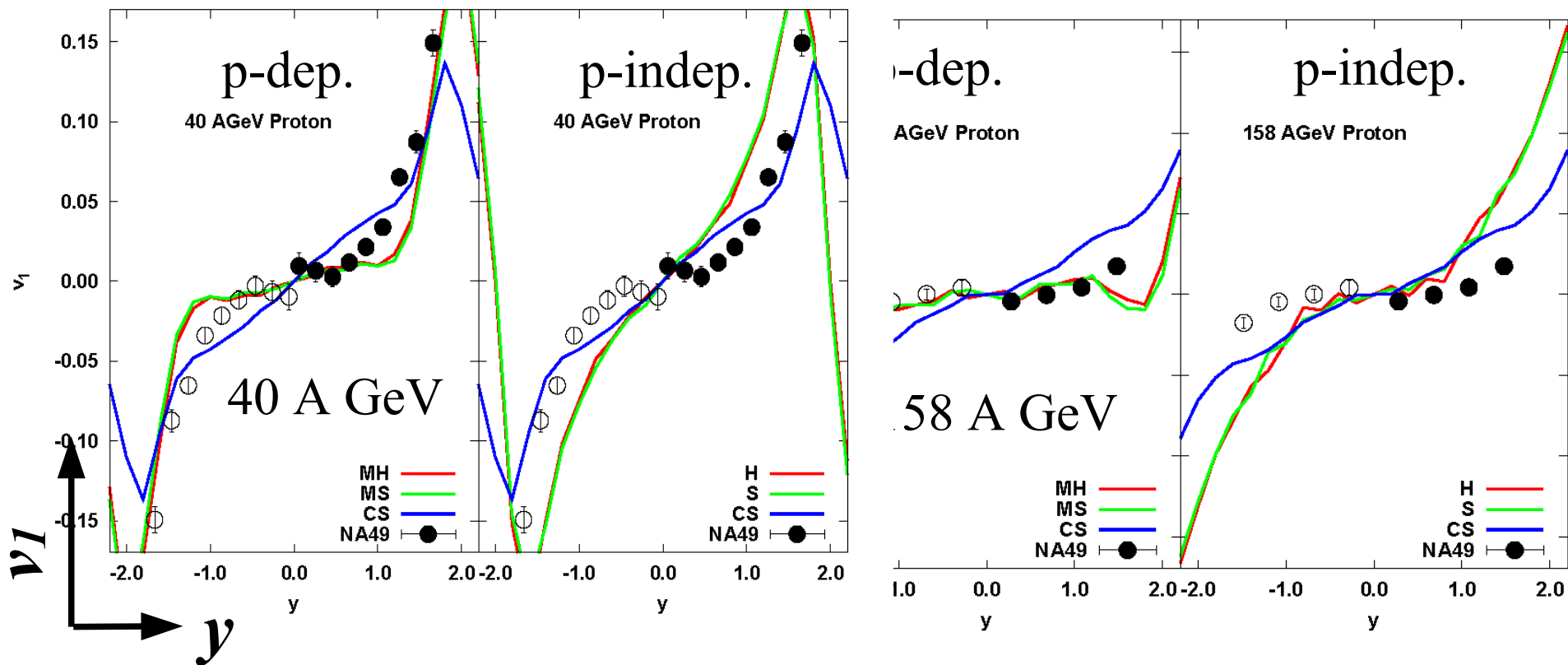
Directed flow v_1 at SPS

Isse, AO, Otuka, Sahu, Nara, PRC 72 (2005), 064908

JAM-RQMD/S

p-dep. (indep.) MF suppresses (enhances) v_1 . $v_1 = \langle \cos \phi \rangle = \langle p_x / p_T \rangle$

“Wiggle” behavior appears with p-dep. MF at 158 A GeV.



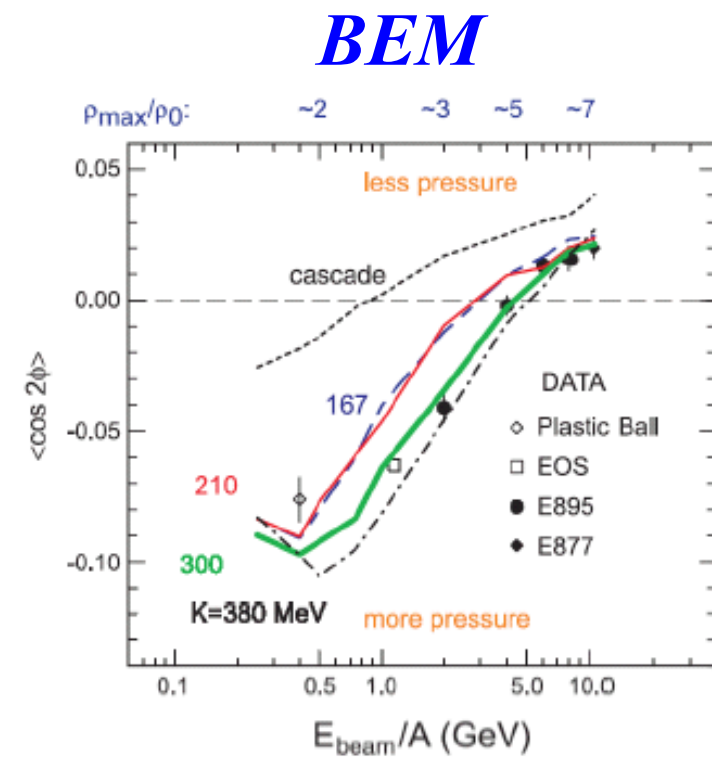
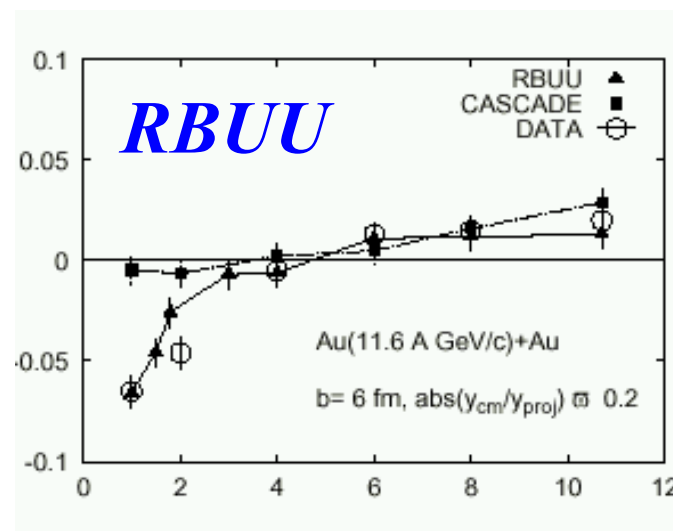
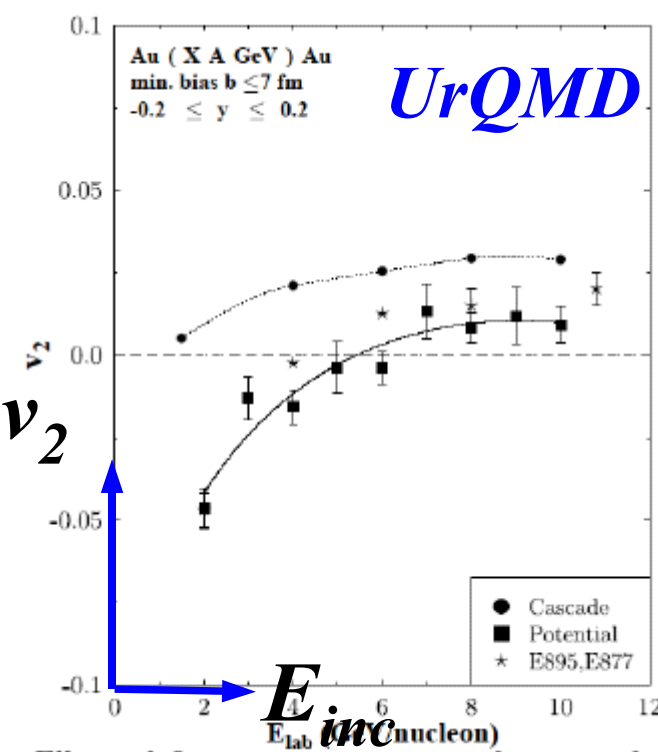
Elliptic Flow at AGS

Strong Squeezing Effects at low E (2-4 A GeV)

UrQMD: Hard EOS (S.Soff et al., nucl-th/9903061)

RBUU (Sahu-Cassing-Mosel-AO, 2000): $K \sim 300$ MeV

BEM(Danielewicz2002): $K = 167 \rightarrow 300$ MeV

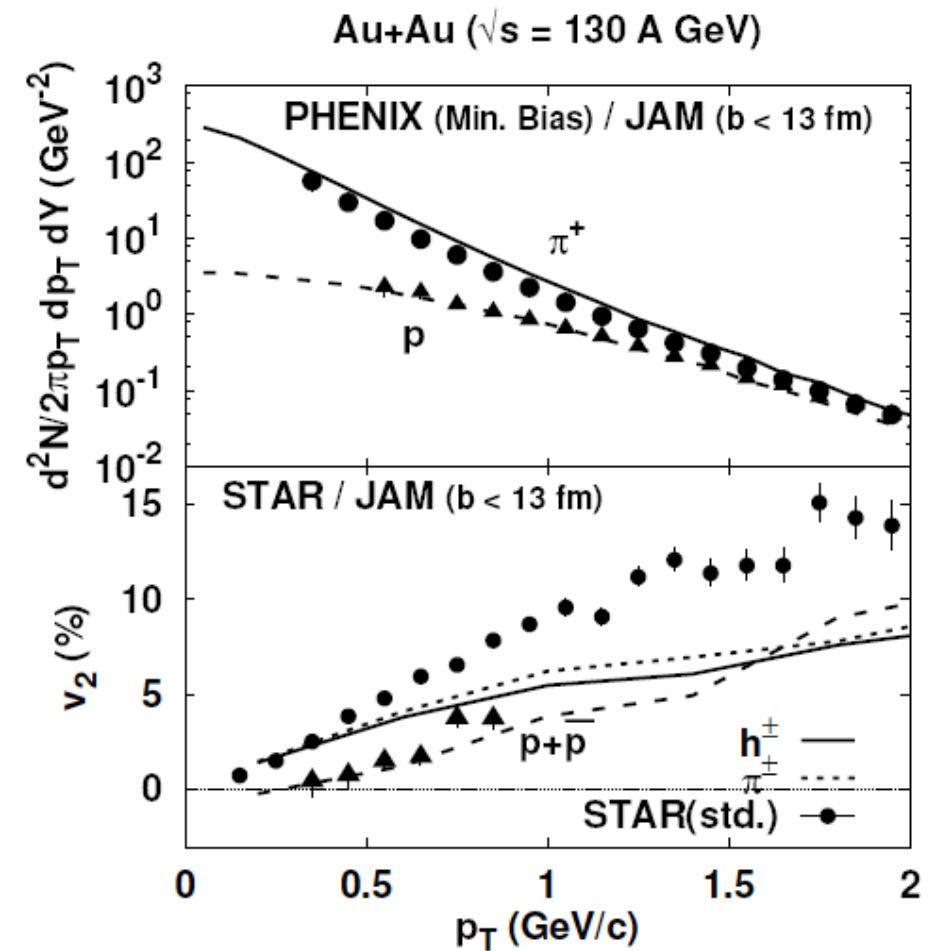
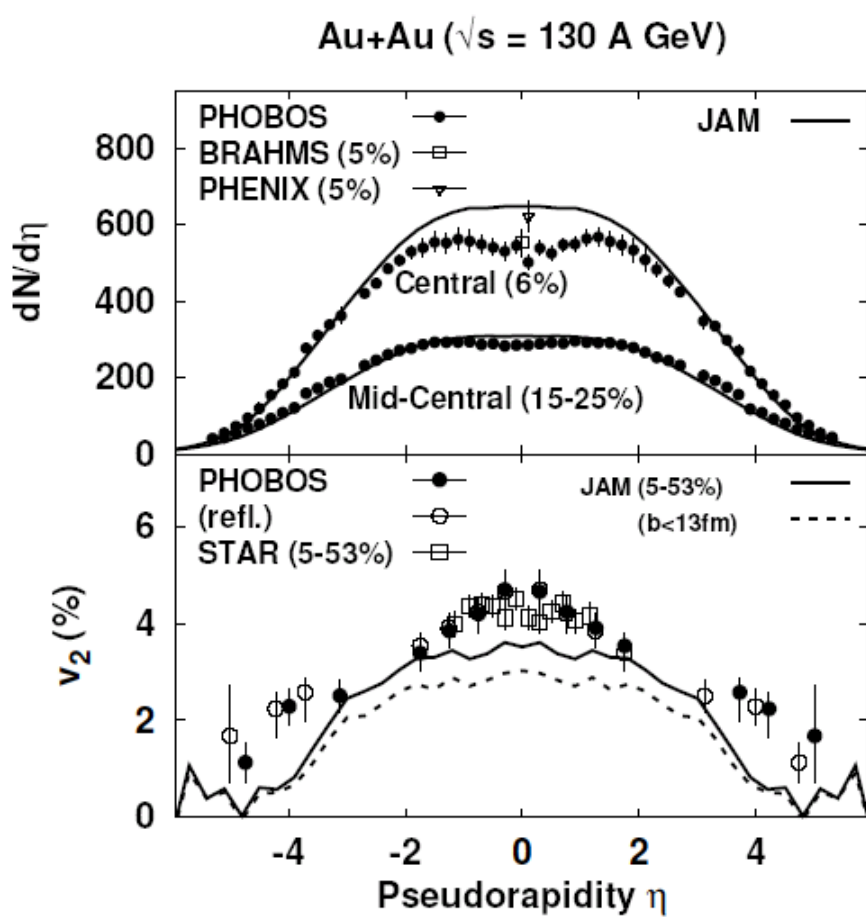


Elliptic Flow in Hadron-String Cascade (I)

Hadron-String Cascade (JAM) @ RHIC

Hadron Yield is reasonably explained up to 2 GeV/c (10-20 % error)

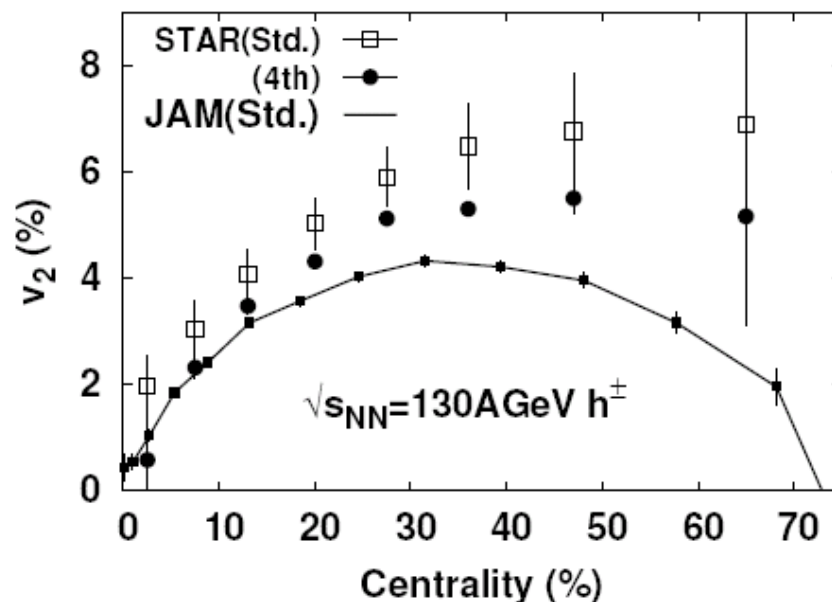
v_2 is underestimated (20-30 % (integrated), 50 % ($p_T > 1$ GeV))



Elliptic Flow in Hadron-String Cascade (II)

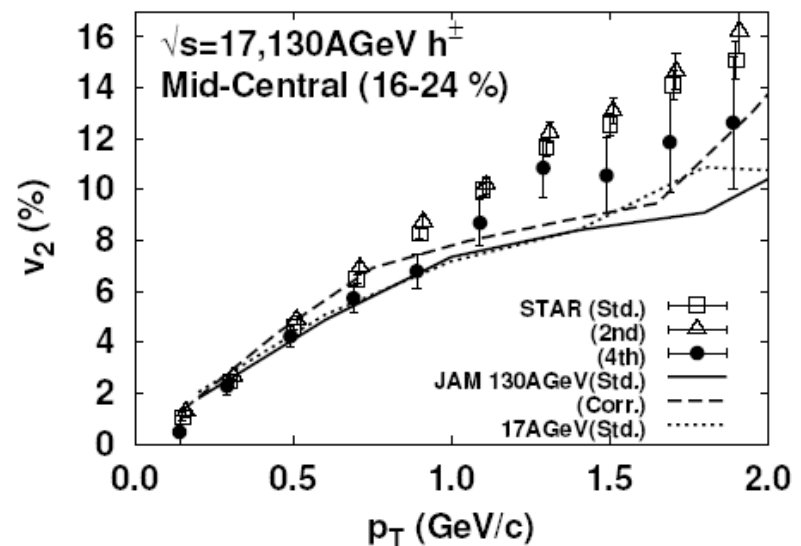
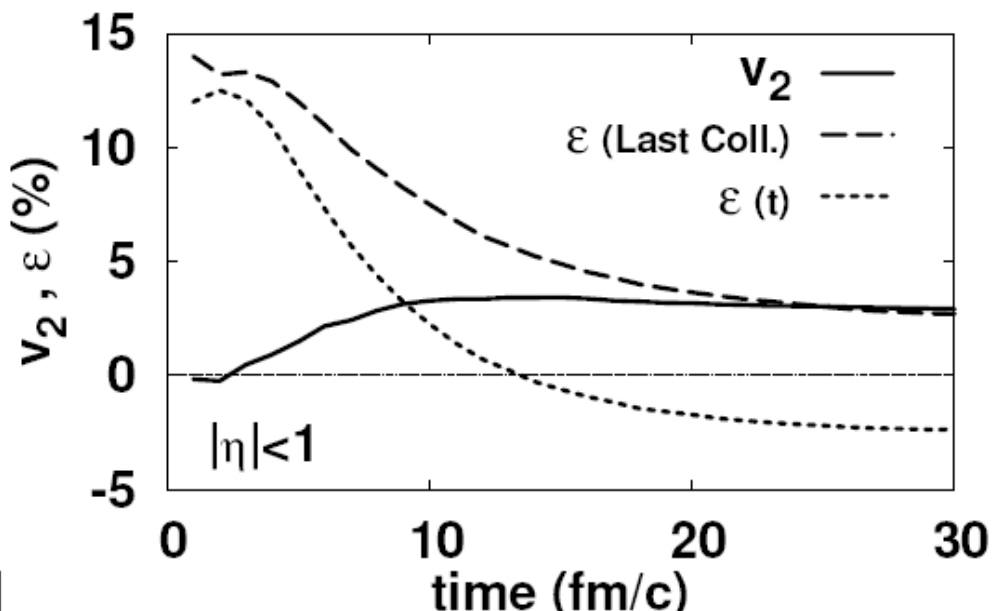
Why do we underestimate v₂ in Hadron-String Cascade ?

v₂ growth time is long
(~ 10 fm/c), due to hadron formation time ($\tau \sim 1$ fm/c).
→ much longer than hydro



Sahu-Isse-AO-Otuka-Phatak 2006

Au+Au, $\sqrt{s_{NN}} = 130 \text{ GeV}$, $b < 13 \text{ fm}$



Predictions of Cu+Cu Collisions @ RHIC (I)

Single particle spectra

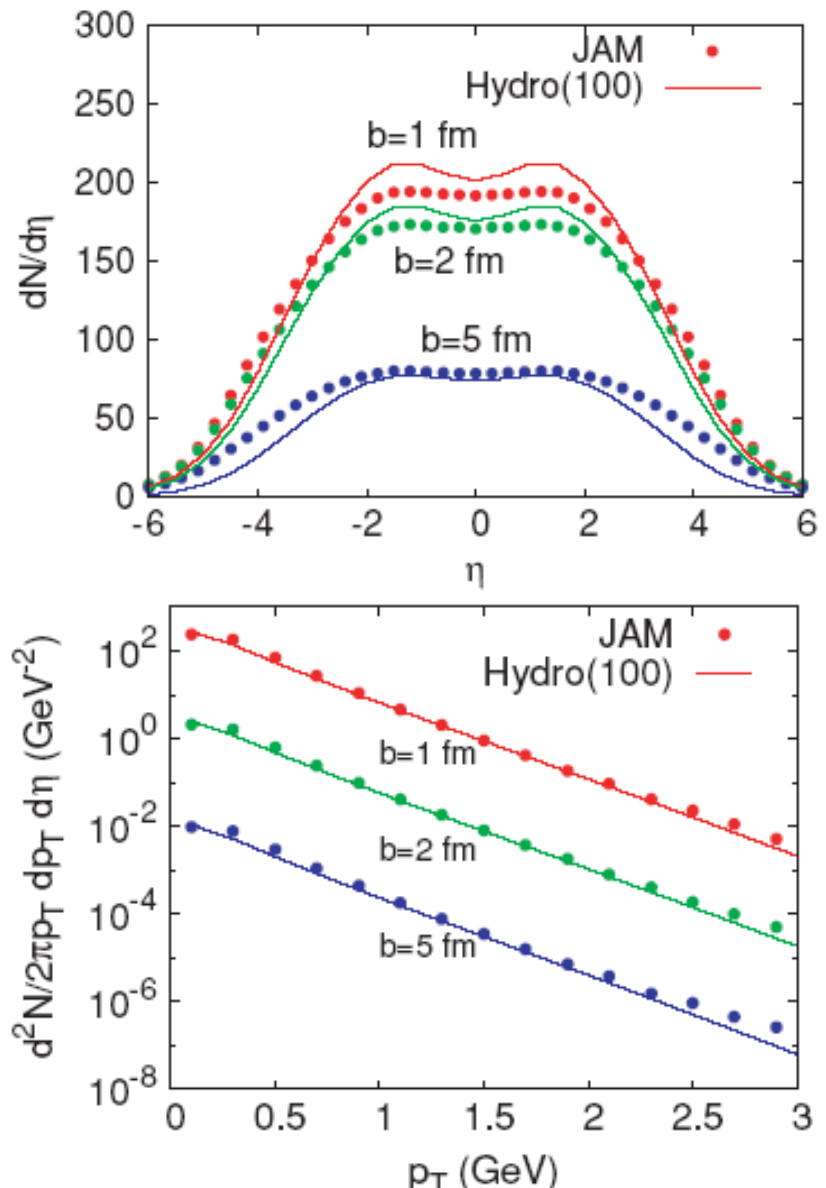
Cascade (JAM) and Hydro predict almost the same single particle spectra
 $dN/d\eta, d^2N/dp_T dp_T d\eta$

Surprising ?

Initial Cond. of Hydro is tuned to fit $dN/d\eta$ (~ Energy per rapidity)

Cascade use fitted σ_{NN}

Thermalization is expected at Low p_T (long time before particle production)
→ Coincidence may not be surprising



Hirano, Isse, Nara, AO, Yoshino, Phys. Rev. C 72(2005), 041901

Predictions of Cu+Cu Collisions @ RHIC (II)

Calculations were done BEFORE the data are opened to public.

Cascade and Hydro predict very different Elliptic Flow !

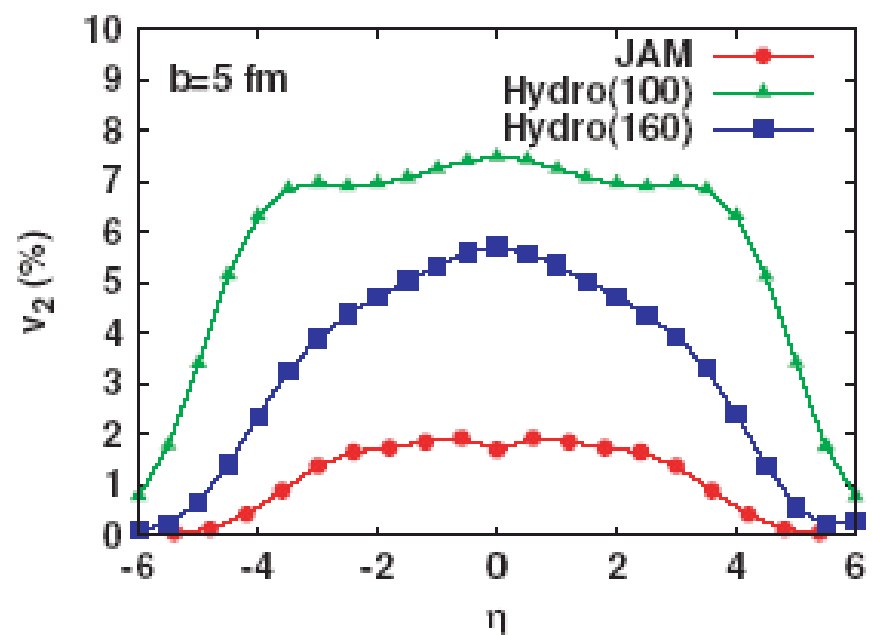
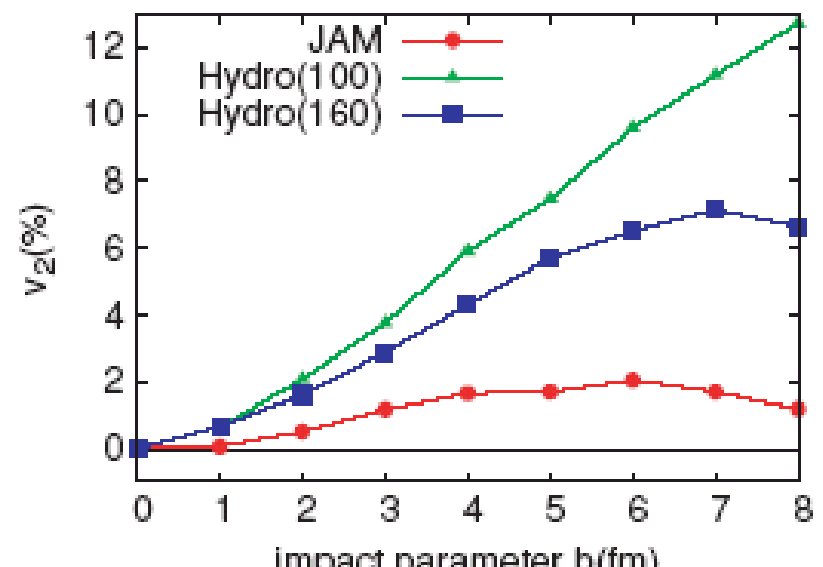
Cascade: small v₂
→ Small int. in the early stage

Hydro: large v₂
→ Strong int. after $\tau = \tau_0 \sim 0.6 \text{ fm/c}$

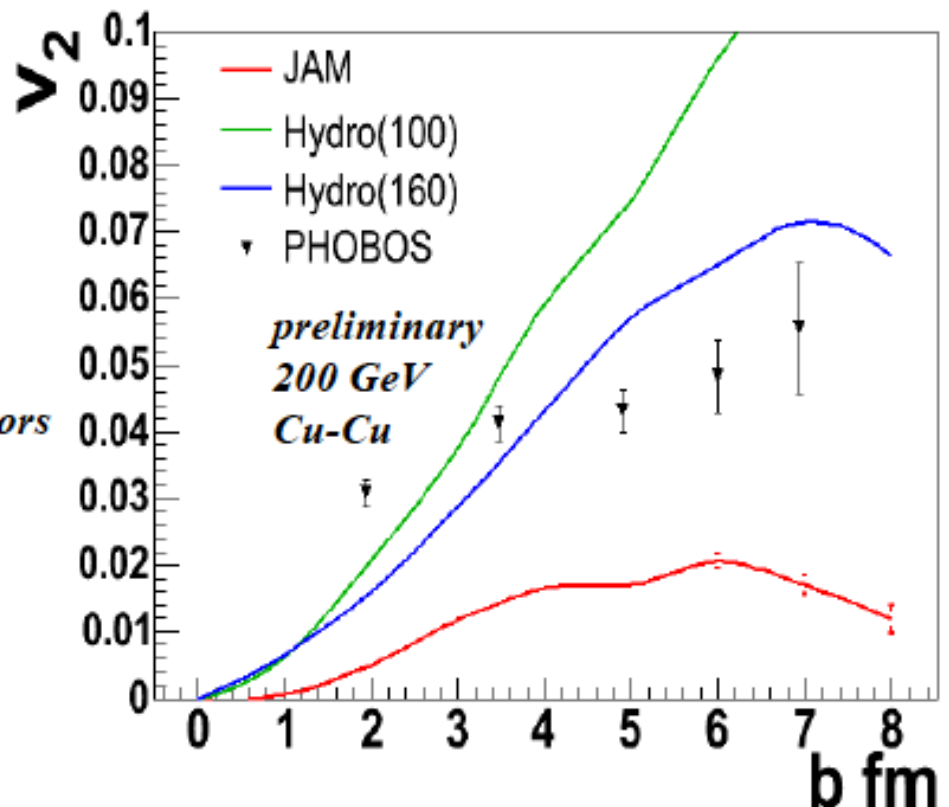
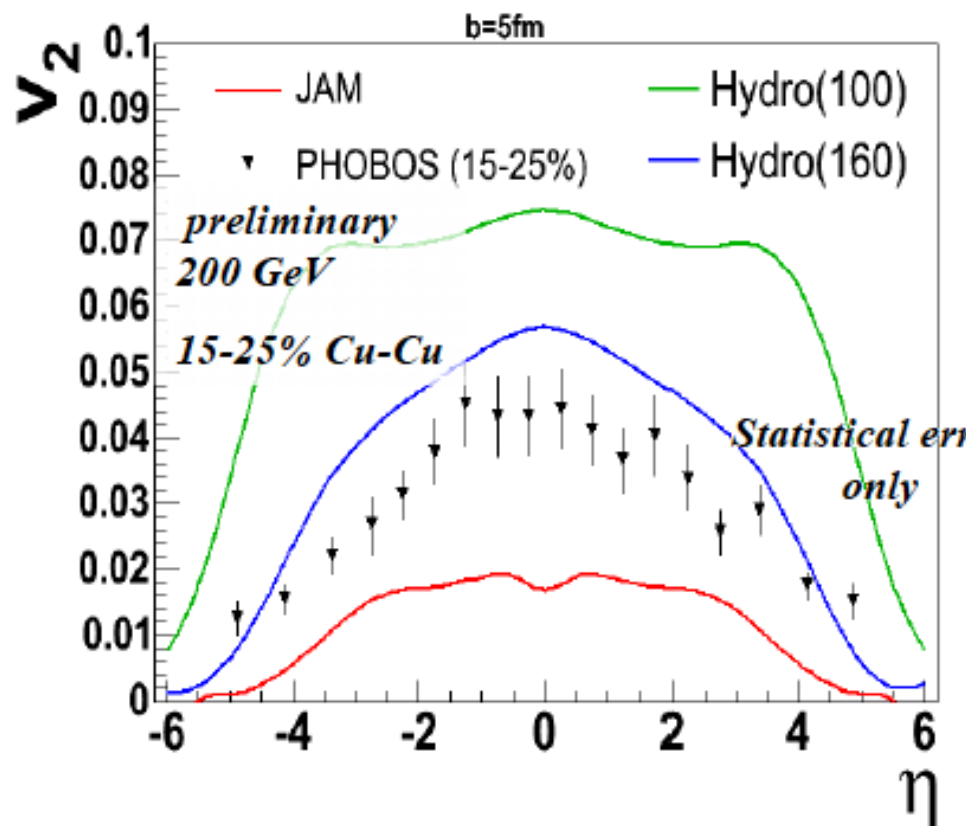
T^{th} dependence

$T^{\text{th}} = 160 \text{ MeV} \sim T_c = 170 \text{ MeV}$
→ short time of expansion
in the hadron phase

$T^{\text{th}} = 100 \text{ MeV} < T_c = 170 \text{ MeV}$
→ long time of expansion



Compared to JAM Model



Cu-Cu more like Hydro than JAM hadron string cascade model

Here JAM uses a $1 \text{ fm}/c$ formation time. Hydro (160) has kinetic freezeout temperature at 160 MeV

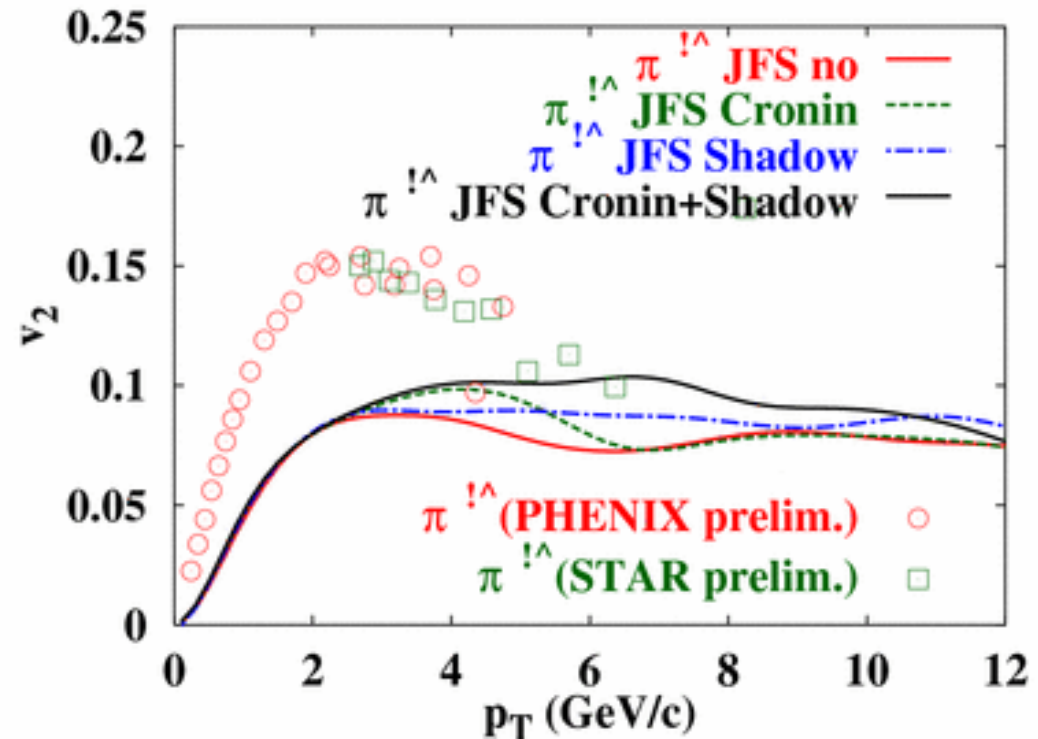
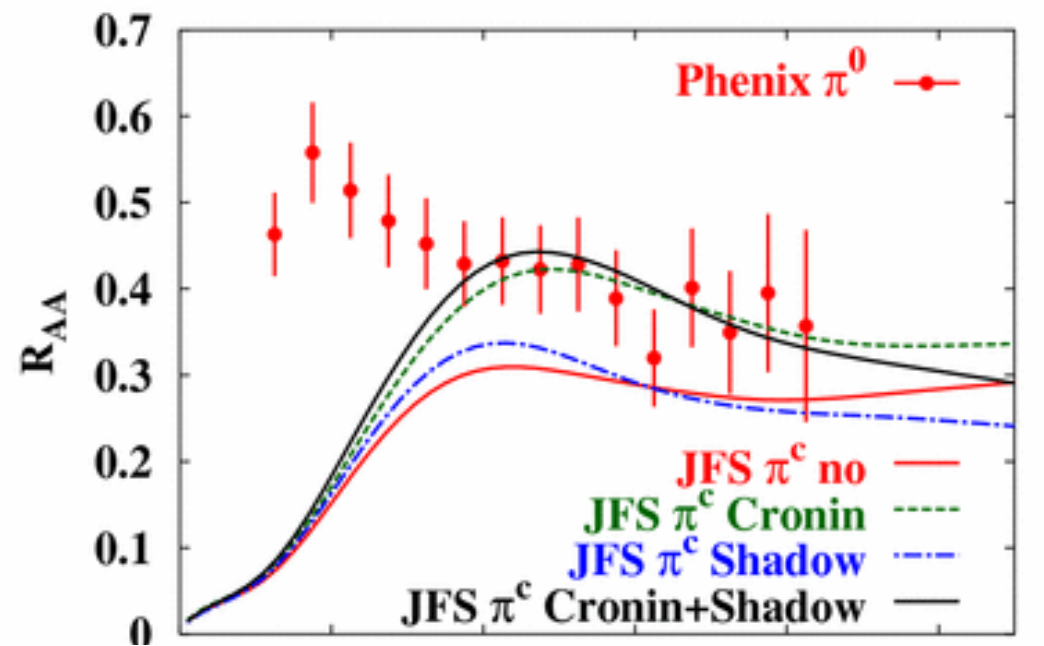
Cronin and Shadowing Effects

Standard (EKS, ...)

Cronin+Shadow

enh. med. $p_T R_{AA}$

and suppr. high $p_T R_{AA}$.



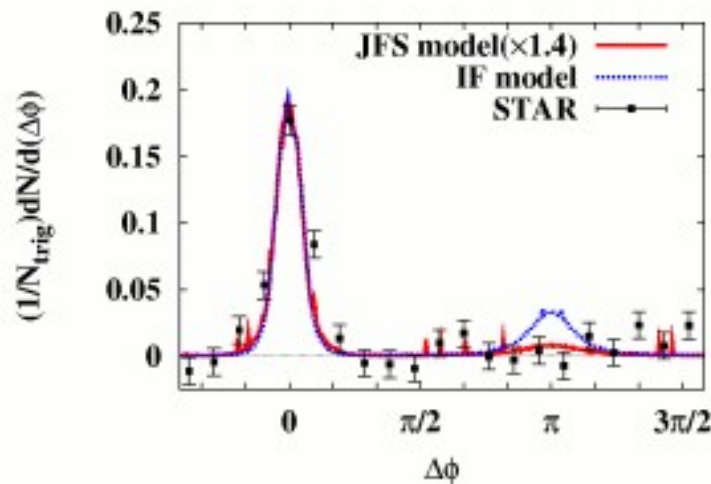
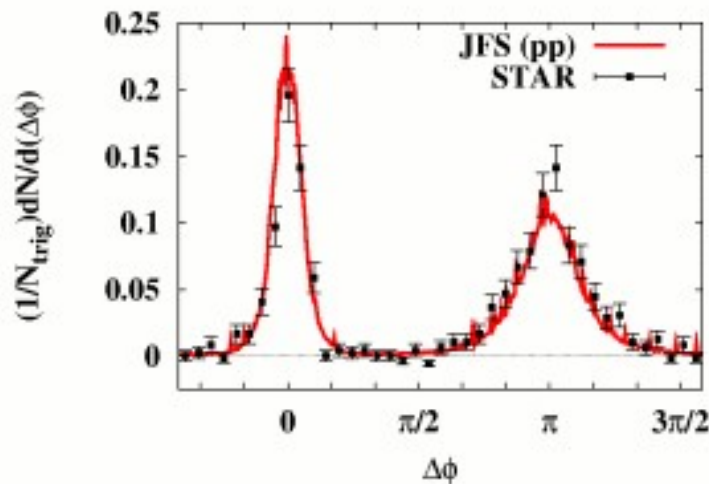
Two Hadron Correlation

pp衝突の correlation は pythia で説明できる

Au+Au衝突を見ると、

IF model では 180° 相関の消失が不完全

JFS model では 180° 相関の消失を定性的には再現



AMD (Antisymmetrized Molecular Dynamics)

Ono-Horiuchi-Maruyama-AO, 1992

Gaussian Approximation for single particle wave function

$$|\Psi\rangle = A \prod |\psi_i\rangle , \quad \psi_i = \phi(r; Z_i) \chi(\sigma, \tau) , \quad Z = \sqrt{\nu} D + \frac{i}{2\hbar\sqrt{\nu}} K$$

$$\phi(r; Z) = \left(\frac{2\nu}{\pi} \right)^{3/4} \exp(-\nu(r - Z/\sqrt{\nu})^2 + Z^2/2) \propto \exp(-\nu(r - D)^2 + iK \cdot (r - D)/\hbar)$$

Time-dependent Variational Principle → Equations of Motion

$$L = \frac{\langle \Psi | i\hbar \partial/\partial t - H | \Psi \rangle}{\langle \Psi | \Psi \rangle} \quad \frac{d}{dt} \frac{\partial L}{\partial(d\bar{Z}_i/dt)} - \frac{\partial L}{\partial \bar{Z}_i} = 0 \quad \rightarrow \quad i\hbar C_{i\alpha, j\beta} \frac{dZ_j}{dt} = \frac{\partial H}{\partial \bar{Z}_i}$$

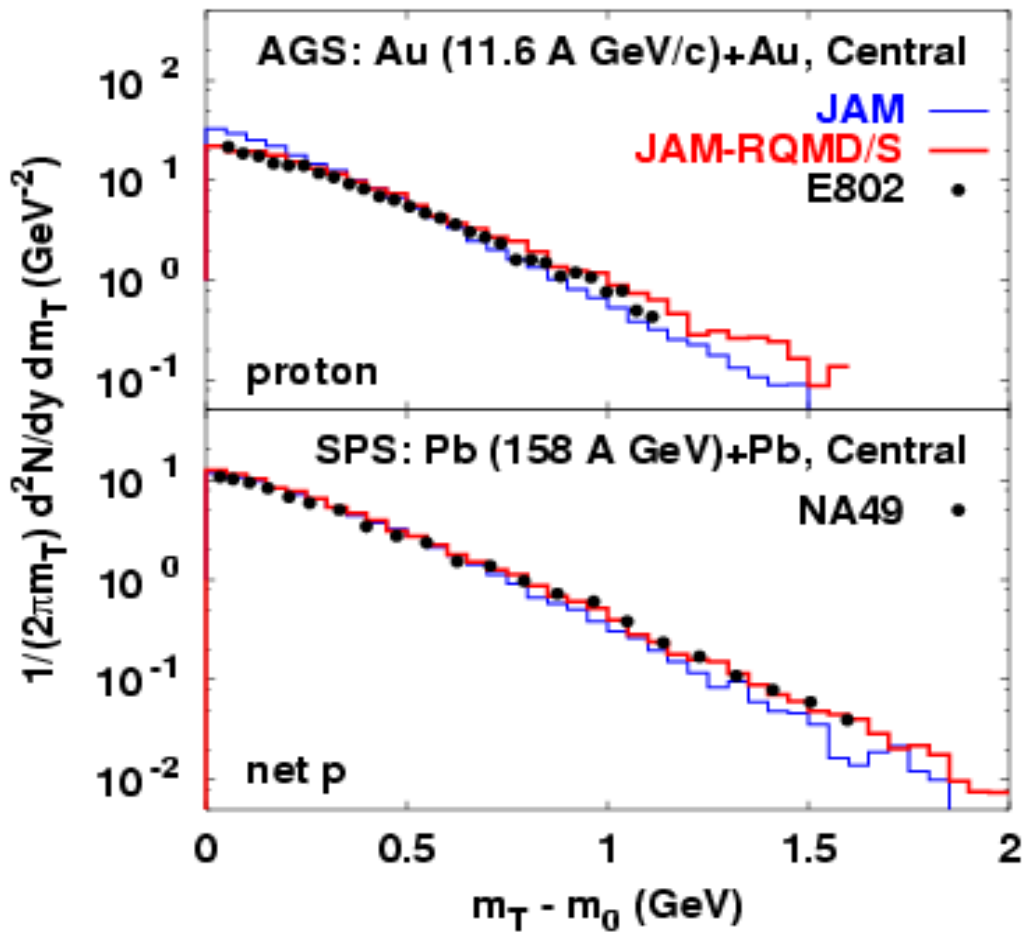
Ignoring Antisymmetrization

→ Quantum Molecular Dynamics EOM (= Classical EOM)

$$C = \delta \quad \rightarrow \quad \frac{dD_i}{dt} = \frac{\partial H}{\partial K_i} , \quad \frac{dK_i}{dt} = -\frac{\partial H}{\partial D_i}$$

Classical-type EOM is obtained through Gaussian + TDVP

Mean Field Effects in Mt Spectrum



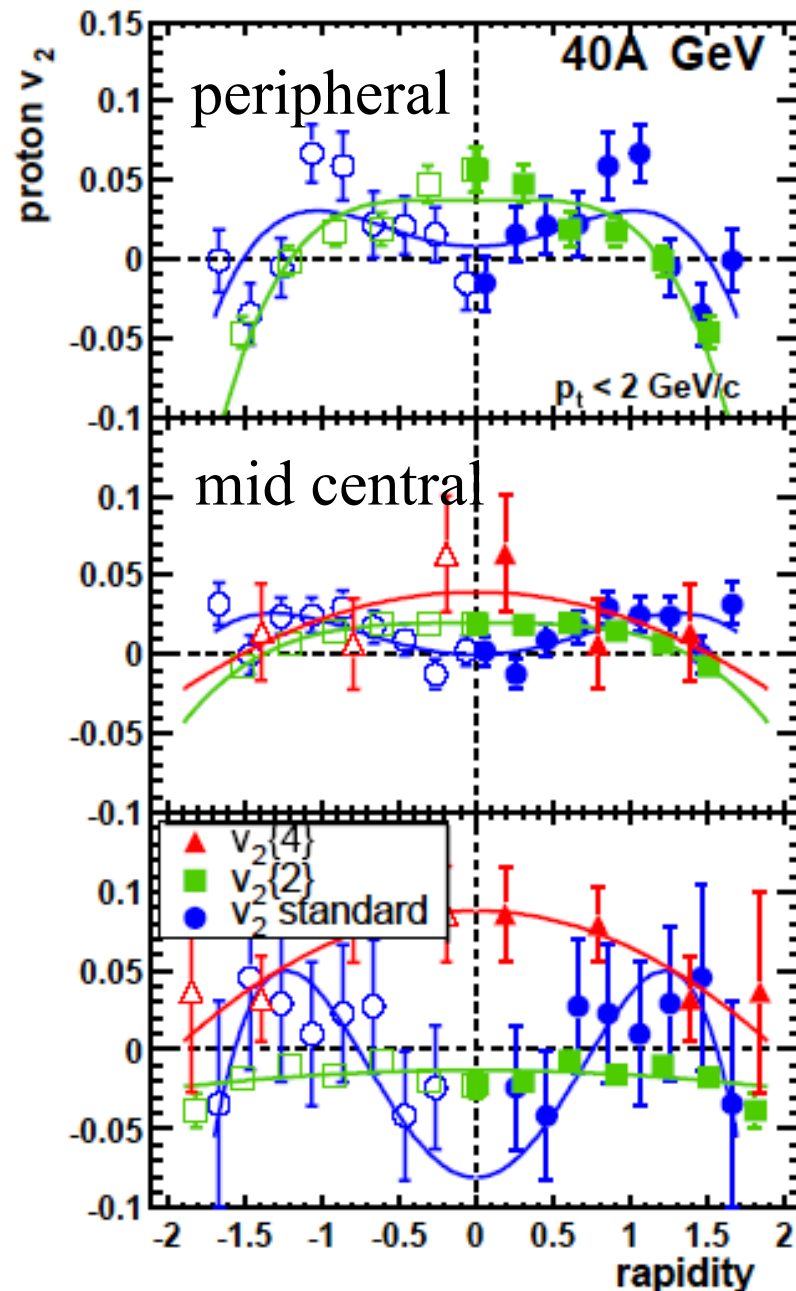
Mean Field affects
the Mt Spectra
even at SPS energy.

Dip of V_2 at 40 A GeV: Phase Transition ?

Dip of V_2 at 40 A GeV may be a signal of QCD phase transition at high baryon density.
(Cassing et al.)

However, the data is too sensitive to the way of the analysis (reaction plane/two particle correlation).

We have to wait for better data.



Flow and EOS; to be continued

In addition to the ambiguities in in-medium cross sections,
Res.-Res. cross sections, we have model dependence.

RBUU (e.g. Sahu, Cassing, Mosel, AO, *Nucl. Phys. A* 672 (2000), 376.)

In RMF, Strong cut-off for meson-N coupling in RMF
→ Smaller EOS dep.

Scalar potential interpretation in BUU

Larionov, Cassing, Greiner, Mosel, *PRC* 62, 064611 ('00), Danielewicz, *NPA* 673, 375 ('00)

$$\varepsilon(\mathbf{p}, \rho) = \sqrt{[m + U_s(\mathbf{p}, \rho)]^2 + \mathbf{p}^2} = \sqrt{m^2 + \mathbf{p}^2 + U(\mathbf{p}, \rho)}$$

Due to the Scalar potential nature, EOS dependence is smaller.

Scalar/Vector Combination Danielewicz, Lacey, Lynch, *Science* 298 ('02), 1592

$$\varepsilon(p, \rho) = m + \int_0^p dp' v^*(p', \rho) + \tilde{U}(\rho), \quad v^*(p, \rho) = \frac{p}{\sqrt{p^2 + [m^*(p, \rho)]^2}}.$$

Relatively Strong EOS dependence even at high energy

JAM-RQMD/S Isse, AO, Otuka, Sahu, Nara, *PRC* 72 (2005), 064908

Similar to the Scalar model BUU

Results of Parton Cascade

Unexpectedly high parton cross sections of $\sigma = 5\text{-}6 \text{ mb}$ have to be assumed in parton cascades in order to reproduce the elliptic flow.

ZI-WEI LIN AND C. M. KO

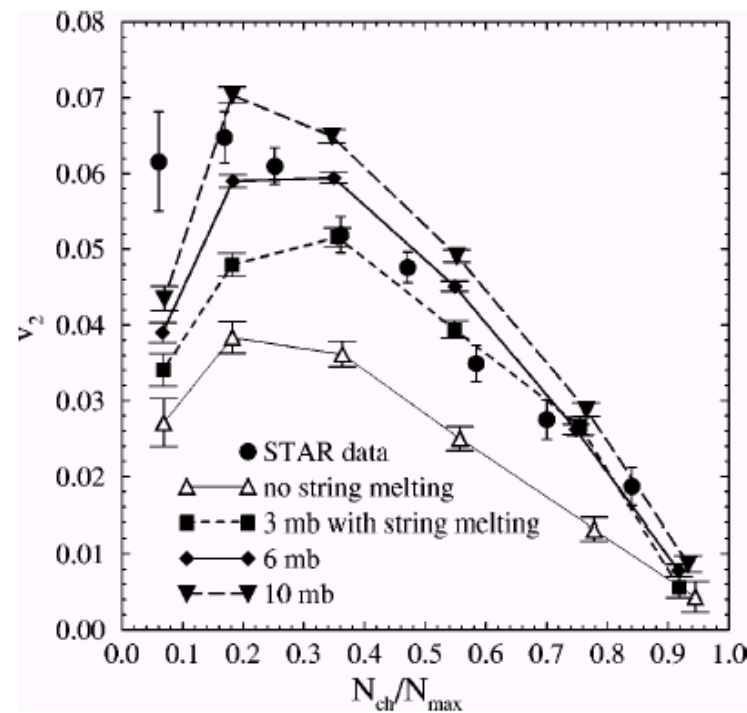


FIG. 3. Impact parameter dependence of elliptic flow at 130 A GeV . The data from the STAR collaboration [7] are shown by filled circles, while the theoretical results for different partonic dynamics are given by curves.

PHYSICAL REVIEW C 65 034904

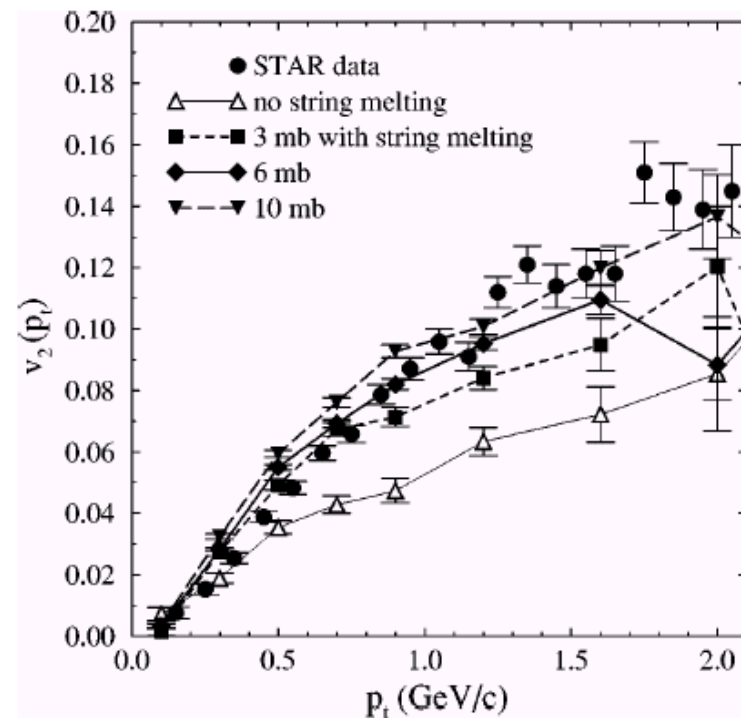


FIG. 4. Transverse momentum dependence of elliptic flow at 130 A GeV . Circles are the STAR data for minimum-bias Au+Au collisions [7], and curves represent the minimum-bias results for charged particles within $\eta \in (-1.3, 1.3)$ from the AMPT model.

Initial Conditions in Hydro

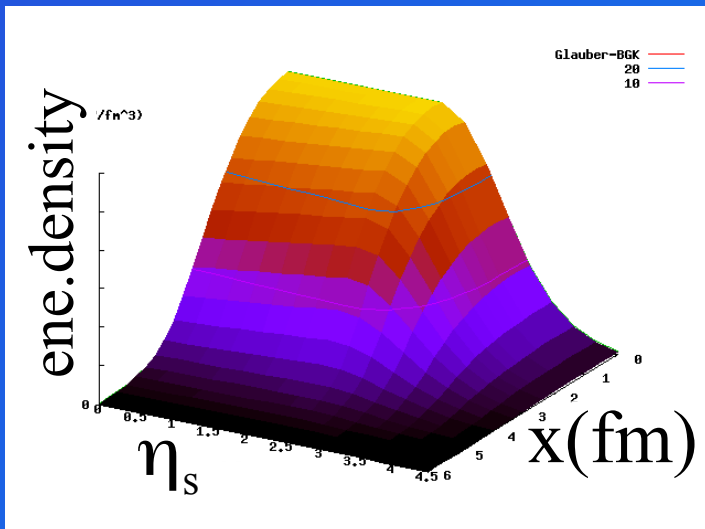
Glauber-BGK type

[Reference Initial Condition]
Transverse profile:

Entropy density
 $\propto a\rho_{\text{part}} + b\rho_{\text{coll}}$

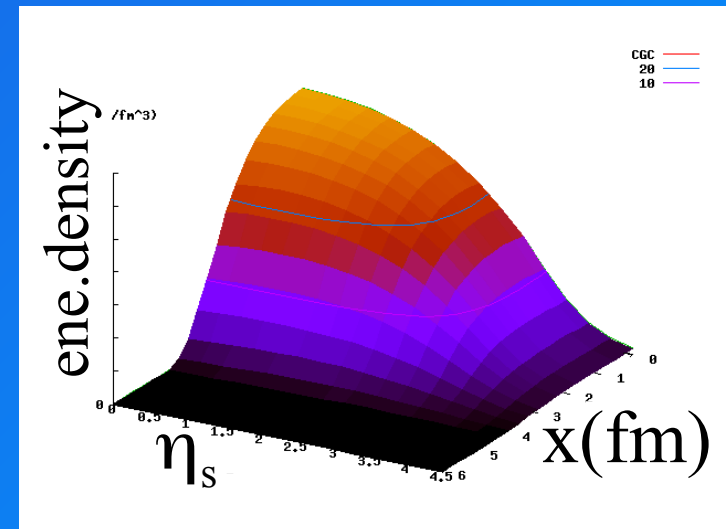
Longitudinal Profile:

Brodsky-Gunion-Kuhn triangle



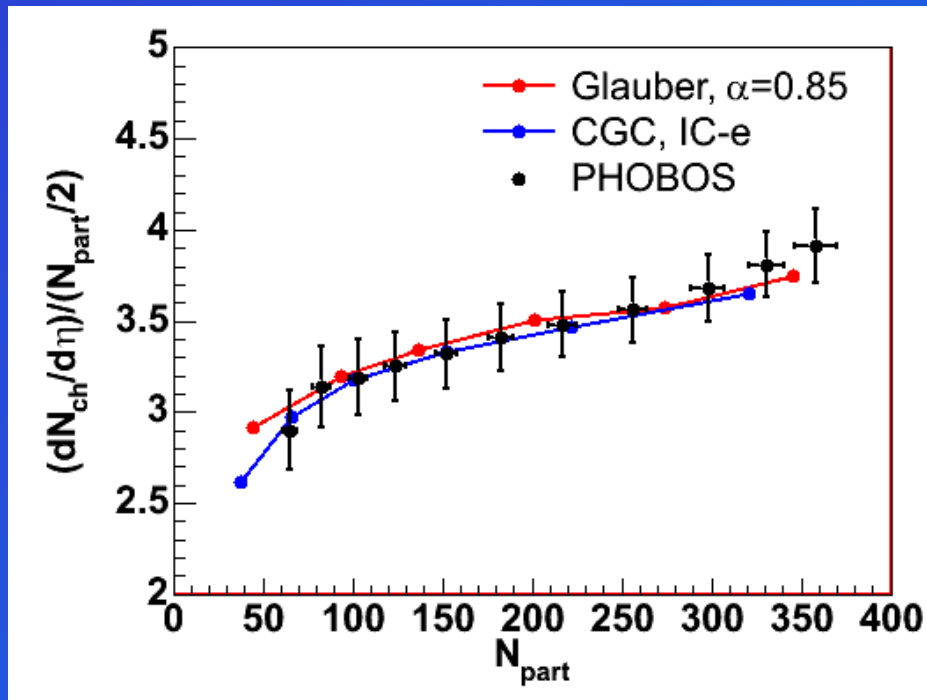
Color Glass Condensate

Unintegrated gluon distribution
a.la. Kharzeev, Levin, and Nardi
Gluon production via k_T
factorization formula
Count deposited energy in dV at
 (τ_0, x, y, η_s) , $\tau_0 = 0.6 \text{ fm}/c$

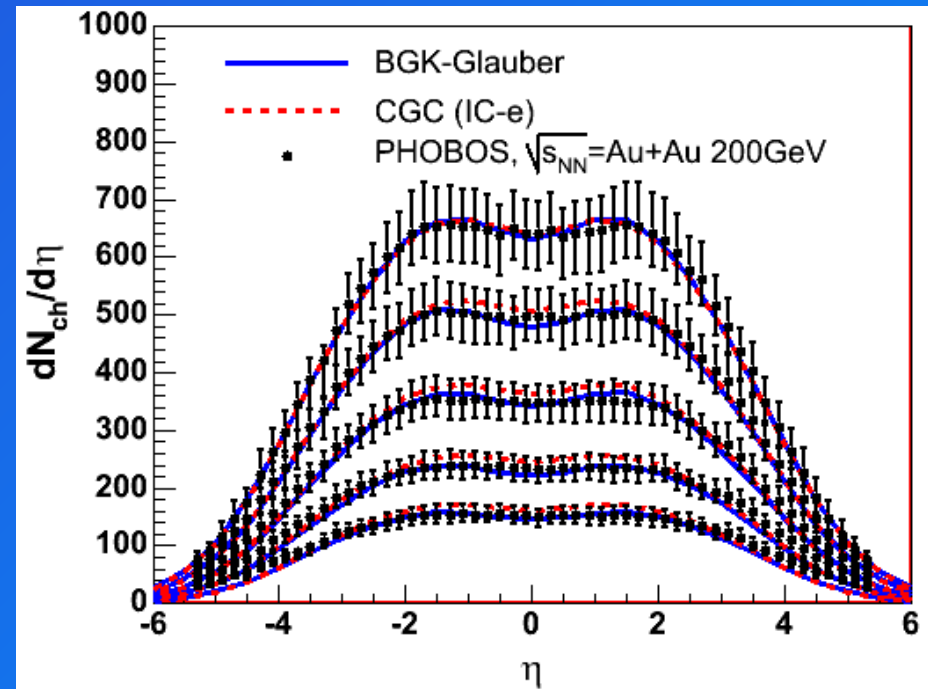


Two Hydro Initial Conditions Which Clear the “First Hurdle”

Centrality dependence



Rapidity dependence



1. CGC model

Matching I.C. via $e(x,y,\eta)$

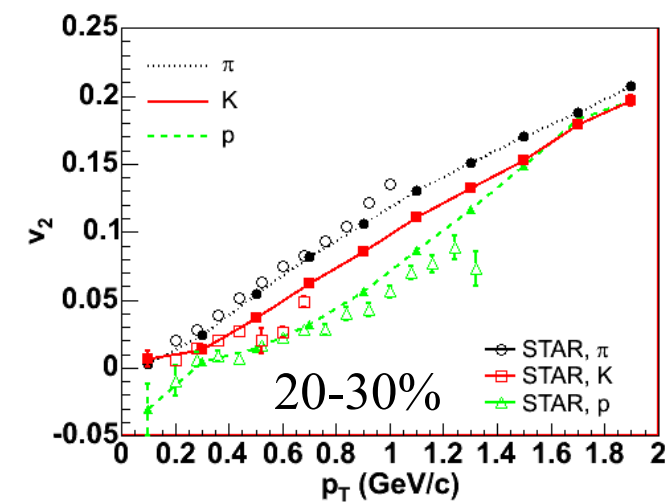
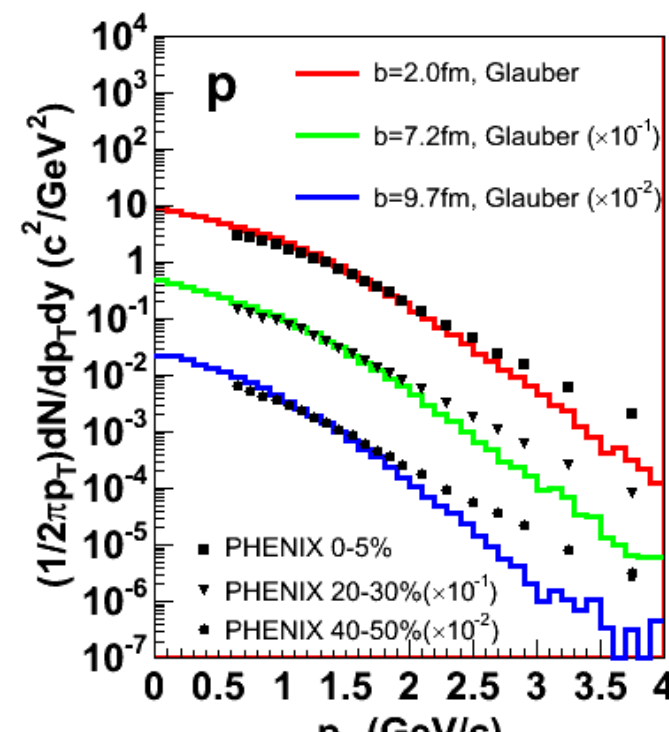
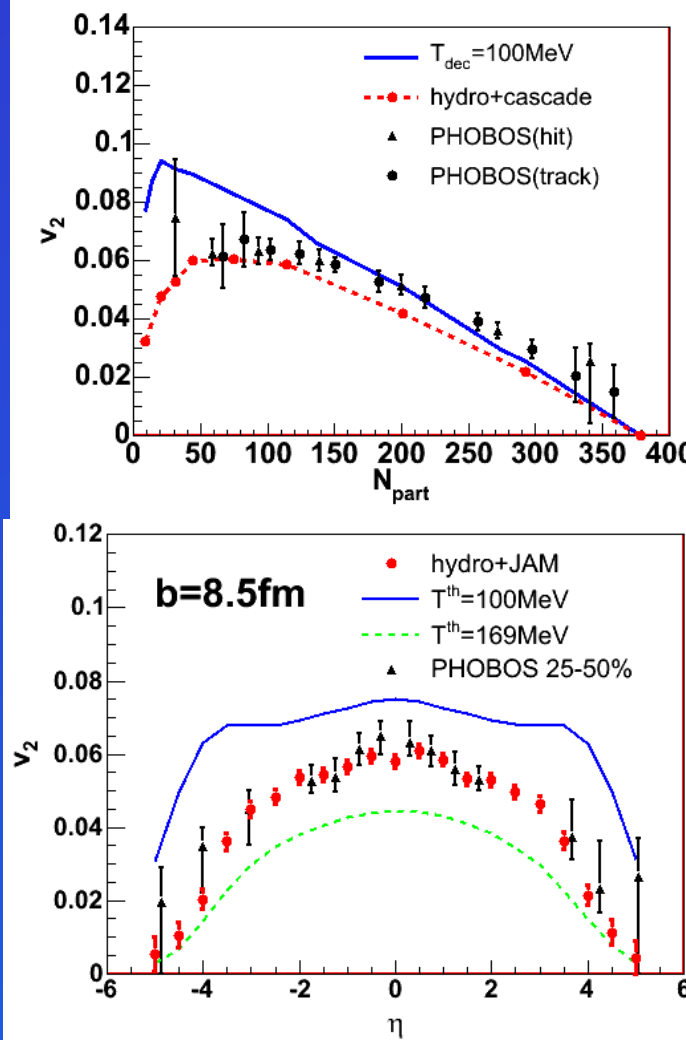
2. Glauber model (as a reference)

$$N_{part}:N_{coll} = 85\%:15\%$$

Kharzeev, Levin, and Nardi

Implemented in hydro by TH and Nara

Highlights from Glauber + QGP Fluid + Hadron Gas Model



Good agreement for bulk ($p_T < \sim 1.5 \text{ GeV}/c$)
 → What happens to the CGC case?

Recombination and Fragmentation

Fries, Muller, Nonaka, Bass, PRL90, 202303(2003); PRC68, 044902 (2003)

Successes: quark number scaling, baryon/meson ratio
→ $v_2 \sim 0.10$ at high-pT .

$$f(p, \varphi) = (1 + 2 v_2(p/2) \cos \varphi) \times (1 + 2 v_2(p/2) \cos \varphi)$$
$$\approx 1 + 2 \times 2 v_2(p/2) \cos \varphi$$

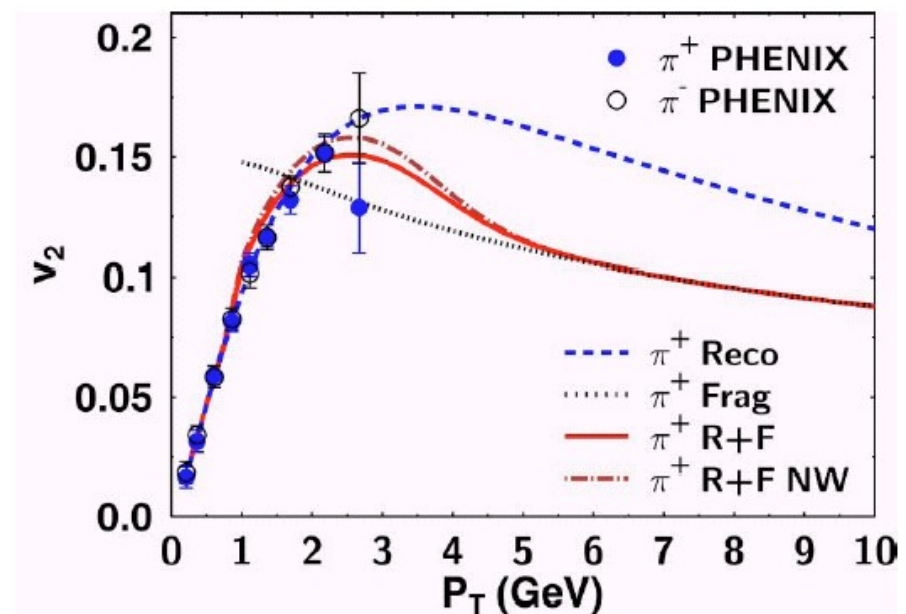
Problems: Sharply edged density dist. (Hard Sphere)

$$\ell(b) = \sqrt{R_A^2 - (b/2)^2}$$

$$\rightarrow E\text{-loss} \propto \ell \rightarrow v_2 \sim 0.10$$

Woods-Saxon density distribution

$$\rightarrow v_2 \sim 0.05 : \text{Half of H.S.}$$



Unsolved (or NewlyFound) Problems at RHIC

Mach Cone / Color Cerenkov

**Many low pT particles are observed along the Quenched Jet
(Angle from Jet = 120 deg.)**

J/ψ Production Mechanism

**With the expected absorption ratio at SPS,
J/ψ yield @ RHIC is underestimated.**

Baryon(Hyperon)-Hadron azimuthal angle correlation

**Around the high pT baryon angle, many hadrons are observed
as in the case of jet production → Baryons are also formed in jets.**

High p_T v₂ problem

**With the energy loss explaining p_T spectrum,
elliptic flow is calculated to be too small at high p_T.**

And Many....

Impact Parameter Dependence

Mid- p_T v_2 ($3 < p_T < 6$ GeV/c) in JFS is larger than the “Strong E-loss Limit” with Woods-Saxon profile in Independent Fragmentation, but still smaller than Data.

